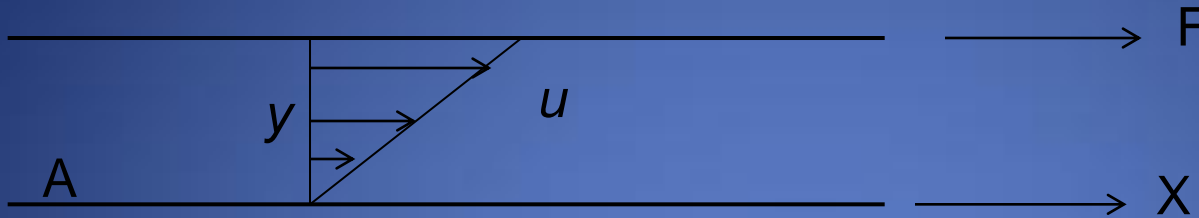


## Equação de conservação da quantidade de movimento.

Fluidos não resistem a tensões de cisalhamento.



Experimentalmente observou-se que:

$$\frac{F}{A} = \mu \frac{u}{y} \quad (*)$$

A ... área da placa em contato com o fluido.

A expressão  $(*)$  sugere uma lei para descrever o processo de transporte de quantidade de movimento:

$$\tau_{yx} = -\mu \frac{\partial u}{\partial y} \quad \text{Lei da Viscosidade de Newton.}$$

y... direção de transporte da quantidade de mov.

x... superfície de fluido paralela à direção X

Eq. de conserv. da quant. de movimento:

$$\left[ \begin{array}{c} \text{TAXA DE VAR.} \\ \text{de Q.M. 1} \end{array} \right] = \left[ \begin{array}{c} \text{SOMA VETORIAL} \\ \text{DAS FORÇAS EXTERNAS} \\ 2 \end{array} \right]$$

$$\underbrace{\frac{1}{\Delta t} \{ [Q.M.]_{t+\Delta t} - [Q.M.]_t \}}_{(1a)} = \frac{1}{\Delta t} \left\{ \underbrace{-[taxa \text{ fluxo Q.M.}]_{ent}}_{(1c)} + \underbrace{[taxa \text{ fluxo Q.M.}]_{sai}}_{(1d)} \right\} \quad (1)$$

$$(1a) = mu_{t+\Delta t} = \rho u_{t+\Delta t} \Delta x \Delta y \Delta z$$

$$(1b) = mu_t = \rho u_t \Delta x \Delta y \Delta z$$

Taxa de fluxo transportada para dentro do V.C. na direção X durante “ $\Delta t$ ” é dada por:

$$(m_x u)_x \cdot \Delta t = (\rho u u)_x \Delta y \Delta z \Delta t$$

$$(1c) = (\rho u u)_x \Delta y \Delta z \Delta t + (\rho v u)_x \Delta x \Delta z \Delta t + (\rho w u)_x \Delta x \Delta y \Delta t$$

$$(1d) = (\rho u u)_{x+\Delta x} \Delta y \Delta z \Delta t + (\rho v u)_{x+\Delta x} \Delta x \Delta z \Delta t + (\rho w u)_{x+\Delta x} \Delta x \Delta y \Delta t$$

## Soma vetorial das forças externas

Forças atuando nas faces do v.c.  $\rightarrow$  forças de superfície são proporcionais à área sobre a qual atuam.

$$(2a) = P_x \Delta y \Delta x - P_{x+\Delta x} \Delta y \Delta x$$

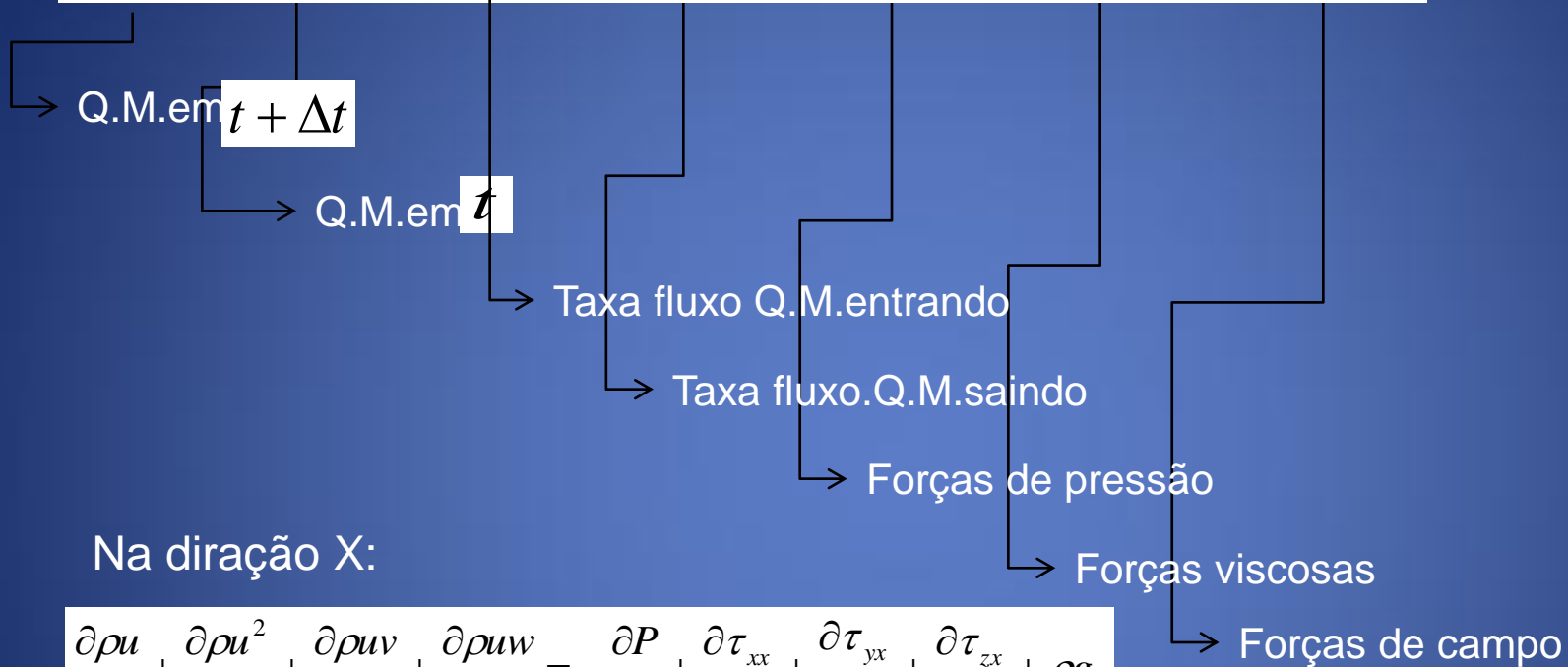
$$(2b) = \tau_{xx}|_x \Delta y \Delta z + \tau_{yx}|_y \Delta x \Delta z + \tau_{zx}|_z \Delta x \Delta y - \\ \tau_{xx}|_{x+\Delta x} \Delta y \Delta z + \tau_{yx}|_{y+\Delta y} \Delta x \Delta z + \tau_{zx}|_{z+\Delta z} \Delta x \Delta y$$

Forças de campo proporcionais ao volume:

$$(2c) = \rho g_x$$

Da 3ª Lei Newton  $\longrightarrow$  (1) = (2)

$$(1a) - (1b) - (1c) + (1d) = (2a) + (2b) + (2c)$$



Na direção X:

$$\frac{\partial \rho u}{\partial t} + \frac{\partial \rho u^2}{\partial x} + \frac{\partial \rho uv}{\partial y} + \frac{\partial \rho uw}{\partial z} = -\frac{\partial P}{\partial x} + \frac{\partial \tau_{xx}}{\partial x} + \frac{\partial \tau_{yx}}{\partial y} + \frac{\partial \tau_{zx}}{\partial z} + \rho g_x$$

Nas direções Y e Z:

$$\frac{\partial \rho v}{\partial t} + \frac{\partial \rho uv}{\partial x} + \frac{\partial \rho v^2}{\partial y} + \frac{\partial \rho vw}{\partial z} = -\frac{\partial P}{\partial y} + \frac{\partial \tau_{xy}}{\partial x} + \frac{\partial \tau_{yy}}{\partial y} + \frac{\partial \tau_{zy}}{\partial z} + \rho g_y$$

$$\frac{\partial \rho w}{\partial t} + \frac{\partial \rho uw}{\partial x} + \frac{\partial \rho vw}{\partial y} + \frac{\partial \rho w^2}{\partial z} = -\frac{\partial P}{\partial z} + \frac{\partial \tau_{xz}}{\partial x} + \frac{\partial \tau_{yz}}{\partial y} + \frac{\partial \tau_{zz}}{\partial z} + \rho g_z$$

Para resolvermos o sistema de equações formado por:

- Equação da continuidade (conservação da massa)
- Equações de cons. da quant. de mov. em X,Y, e Z.

É necessário expressar em termos de gradientes de velocidade e propriedades físicas:

$$\tau_{xx} = -2\mu \frac{\partial u}{\partial x} + \frac{2}{3}\mu \left( \frac{\partial u}{\partial x} + \frac{\partial v}{\partial y} + \frac{\partial w}{\partial z} \right)$$

$$\tau_{yy} = -2\mu \frac{\partial v}{\partial y} + \frac{2}{3}\mu \left( \frac{\partial u}{\partial x} + \frac{\partial v}{\partial y} + \frac{\partial w}{\partial z} \right)$$

$$\tau_{zz} = -2\mu \frac{\partial w}{\partial z} + \frac{2}{3}\mu \left( \frac{\partial u}{\partial x} + \frac{\partial v}{\partial y} + \frac{\partial w}{\partial z} \right)$$

$$\tau_{yx} = \tau_{xy} = -\mu \left( \frac{\partial u}{\partial y} + \frac{\partial v}{\partial x} \right)$$

$$\tau_{yz} = \tau_{zy} = -\mu \left( \frac{\partial v}{\partial z} + \frac{\partial w}{\partial y} \right)$$

$$\tau_{xz} = \tau_{zx} = -\mu \left( \frac{\partial u}{\partial z} + \frac{\partial w}{\partial x} \right)$$

As equações de conserv. da quant. de mov. podem ser agrupados em uma única equação em sua forma vetorial.

$$\frac{\partial \rho \vec{v}}{\partial t} + \nabla(\rho \vec{v} \vec{v}) = -\nabla P + \nabla \vec{\tau} + \rho \vec{g}$$

Observe que  $\rho \vec{v} \vec{v}$  e  $\vec{\tau}$  são tensores:

$$\rho \vec{v} \vec{v} = \begin{bmatrix} \rho_{uu} & \rho_{uv} & \rho_{uw} \\ \rho_{vu} & \rho_{vv} & \rho_{vw} \\ \rho_{wu} & \rho_{wv} & \rho_{ww} \end{bmatrix}$$

$$\vec{\tau} = \begin{bmatrix} \tau_{xx} & \tau_{xy} & \tau_{xz} \\ \tau_{yx} & \tau_{yy} & \tau_{yz} \\ \tau_{zx} & \tau_{zy} & \tau_{zz} \end{bmatrix}$$

Equações de Navier-Stokes em termos da derivada substancial:

$$\frac{\partial \rho u}{\partial t} + \frac{\partial \rho u^2}{\partial x} + \frac{\partial \rho uv}{\partial y} + \frac{\partial \rho uw}{\partial z} = -\frac{\partial P}{\partial x} - \frac{\partial \tau_{xx}}{\partial x} - \dots$$

$$\rho \frac{\partial u}{\partial t} + \rho u \frac{\partial u}{\partial x} + \rho v \frac{\partial u}{\partial y} + \rho w \frac{\partial u}{\partial z} + u \left[ \frac{\partial \rho}{\partial t} + \frac{\partial \rho u}{\partial x} + \frac{\partial \rho v}{\partial y} + \frac{\partial \rho w}{\partial z} \right]$$

$$\rho \frac{Du}{Dt}$$

Equação da continuidade=0

$\frac{Du}{Dt}$  ...derivada substancial

$$\frac{D}{Dt} = \frac{\partial}{\partial t} + u \frac{\partial}{\partial x} + v \frac{\partial}{\partial y} + w \frac{\partial}{\partial z}$$

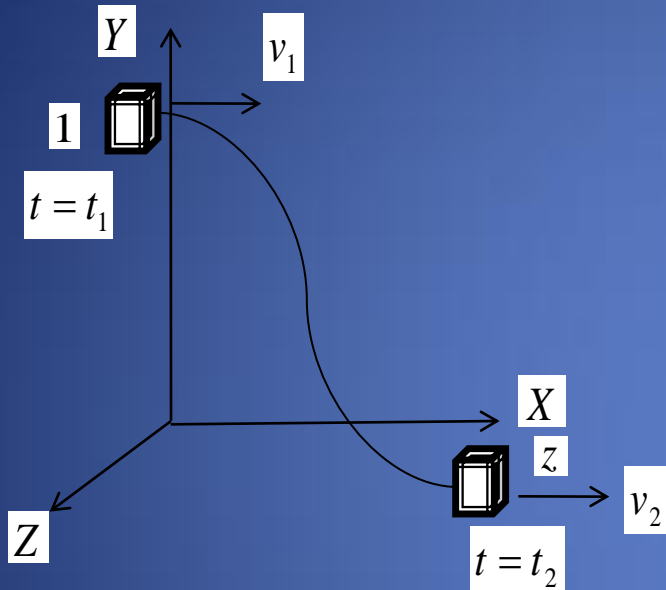
$\frac{D}{Dt}$  ... é a taxa de variação temporal seguindo um elemento fluido em movimento.

$\frac{\partial}{\partial t}$  ... é a taxa de variação temporal de um tempo fixo.

## Significado físico da derivada substancial

Para um dado escoamento temos

$$\rho = \rho(x, y, z, t)$$



no ponto 1 e t1 temos:

$$\rho_1 = \rho(x_1, y_1, z_1, t_1)$$

no ponto 2 e t2 temos:

$$\rho_2 = \rho(x_2, y_2, z_2, t_2)$$

Sendo  $\rho = \rho(x, y, z, t)$  podemos fazer uma expansão em série de Taylor em torno do ponto 1.

$$\rho_2 = \rho_1 + \left. \frac{\partial \rho}{\partial x} \right|_1 (x_2 - x_1) + \left. \frac{\partial \rho}{\partial y} \right|_1 (y_2 - y_1) + \left. \frac{\partial \rho}{\partial z} \right|_1 (z_2 - z_1) + \left. \frac{\partial \rho}{\partial t} \right|_1 (t_2 - t_1) + \dots$$



Ou: 
$$\left. \frac{\rho_2 - \rho_1}{t_2 - t_1} = \frac{\partial \rho}{\partial x} \right)_1 \frac{x_2 - x_1}{t_2 - t_1} + \left. \frac{\partial \rho}{\partial y} \right)_1 \frac{y_2 - y_1}{t_2 - t_1} + \left. \frac{\partial \rho}{\partial z} \right)_1 \frac{z_2 - z_1}{t_2 - t_1} + \left. \frac{\partial \rho}{\partial t} \right)_1$$

→ Taxa de variação temporal da densidade do elemento fluido se movendo do ponto 1 para o ponto 2.

Tomando o limite de  $t_2 \rightarrow t_1$

$$\lim_{t_2 \rightarrow t_1} \frac{\rho_2 - \rho_1}{t_2 - t_1} \equiv \frac{D\rho}{Dt}$$

$\frac{D\rho}{Dt}$  É a taxa variação da densidade de um elemento fluido a medida que ele se move no espaço.

$\frac{\partial \rho}{\partial t}$  É a taxa de variação da densidade de um ponto fixo.

$$\lim_{t_2 \rightarrow t_1} \frac{x_2 - x_1}{t_2 - t_1} = u$$

$$\lim_{t_2 \rightarrow t_1} \frac{y_2 - y_1}{t_2 - t_1} = v$$

$$\lim_{t_2 \rightarrow t_1} \frac{z_2 - z_1}{t_2 - t_1} = w$$

Daí, a equação da quantidade de movimento em termos de derivadas totais, fica:

$$\rho \frac{D\vec{V}}{Dt} = -\vec{\nabla}P + \mu \nabla^2 \vec{V} + \rho \vec{g}$$

(Eq. Navier-Stokes)

# Equação de Conservação de Energia

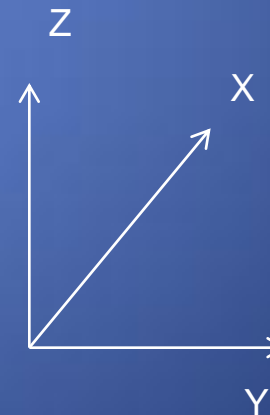
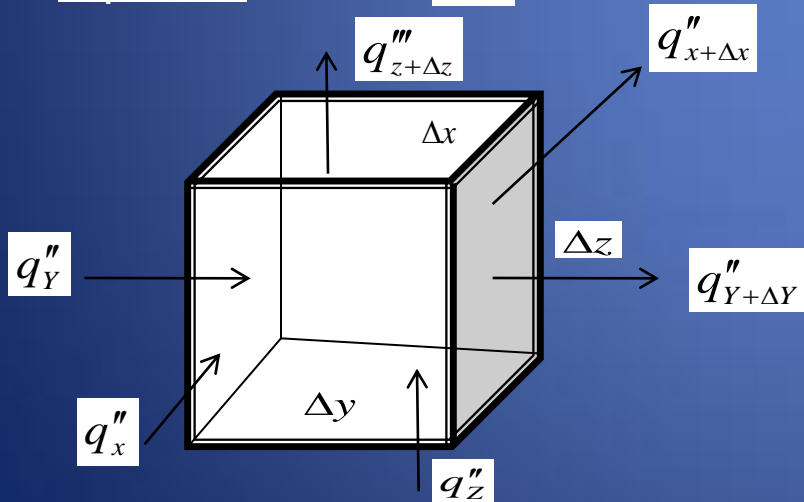
Aplicação da 1ª lei da termodinâmica no volume de controle.

$$\Delta Q = \Delta E + \Delta W$$

$$\left[ \begin{array}{l} \text{calor adicionado} \\ \text{ao v.c. em } \Delta t \end{array} \right] = \left[ \begin{array}{l} \text{Aumento na Energia} \\ \text{total no V.C.} \end{array} \right] + \left[ \begin{array}{l} \text{Produção de} \\ \text{Trabalho} \end{array} \right]$$

❖ O desenvolvimento completo desta equação encontra-se no Schlichting.

Hipótese: o calor  $\Delta Q$  é adicionado ao V.C. apenas por condução de calor.



$$\Delta Q = \left[ q''_x \Delta y \Delta z + q''_y \Delta x \Delta z + q''_z \Delta x \Delta y - q''_{x+\Delta x} \Delta y \Delta z - q''_{y+\Delta y} \Delta x \Delta z - q''_{z+\Delta z} \Delta x \Delta y \right] \Delta t$$

Usando a lei de Fourier:

$$\Delta Q = \left\{ \left[ k \frac{\partial T}{\partial x} \right]_{x+\Delta x} - k \frac{\partial T}{\partial x} \right]_x \Delta y \Delta z + \left[ k \frac{\partial T}{\partial y} \right]_{y+\Delta y} - k \frac{\partial T}{\partial y} \right]_y \Delta x \Delta z + \left[ k \frac{\partial T}{\partial z} \right]_{z+\Delta z} - k \frac{\partial T}{\partial z} \right]_z \Delta x \Delta y \right\} \Delta t$$

Desprezando-se a variação de energia potencial:

$$\Delta E = \Delta E \text{ interna} + \Delta E \text{ cinética}$$

$$\begin{aligned} \Delta E = & \left[ \rho u \left( p + \frac{V^2}{2} \right) \right]_{t+\Delta t} - \rho \left( p + \frac{V^2}{2} \right) \right]_t \Delta x \Delta y \Delta z + \\ & + \left[ \rho v \left( p + \frac{V^2}{2} \right) \right]_{y+\Delta y} - \rho v \left( p + \frac{V^2}{2} \right) \right]_y \Delta x \Delta z \Delta t + \\ & + \left[ \rho w \left( p + \frac{V^2}{2} \right) \right]_{z+\Delta z} - \rho w \left( p + \frac{V^2}{2} \right) \right]_z \Delta x \Delta y \Delta t \end{aligned}$$

Com

$$V = \sqrt{u^2 + v^2 + w^2}$$

O fluido realiza trabalho contra forças de pressão e forças viscosas

Trabalho  $\mathbf{W} > 0 \Rightarrow$  velocidade e tensão tem sentidos contrários.

$$\begin{aligned}
 \Delta W = & \left[ u(p + \tau_{xx}) \right]_{x+\Delta x} \Delta y \Delta z + \left[ v \tau_{yx} \right]_{y+\Delta y} \Delta x \Delta z \\
 & + \left[ w \tau_{zx} \right]_{z+\Delta z} \Delta x \Delta y + \left[ u \tau_{xy} \right]_{x+\Delta x} \Delta y \Delta z + \\
 & + \left[ v(p + \tau_{yy}) \right]_{y+\Delta y} \Delta x \Delta z + \left[ w \tau_{zy} \right]_{z+\Delta z} \Delta x \Delta y \\
 & + \left[ u \tau_{zx} \right]_{x+\Delta x} \Delta y \Delta z + \left[ v \tau_{yz} \right]_{y+\Delta y} \Delta x \Delta z + \left[ w(p + \tau_{zz}) \right]_{z+\Delta z} \Delta x \Delta y
 \end{aligned} \tag{I}$$

$$\begin{aligned}
 & - \left[ u(p + \tau_{xx}) \right]_x \Delta y \Delta z - \left[ v \tau_{yx} \right]_{y+\Delta y} \Delta x \Delta z - \left[ w \tau_{zx} \right]_z \Delta x \Delta y \\
 & - \left[ u(p + \tau_{xy}) \right]_x \Delta y \Delta z - \left[ v(p + \tau_{yy}) \right]_{y+\Delta y} \Delta x \Delta z - \left[ w \tau_{zy} \right]_z \Delta x \Delta y \\
 & - \left[ u \tau_{xz} \right]_x \Delta y \Delta z - \left[ v \tau_{yz} \right]_y \Delta x \Delta z - \left[ w(p + \tau_{zz}) \right]_z \Delta x \Delta y \} \Delta t
 \end{aligned} \tag{II}$$

(I) entrando no V.C.

(II) saindo do V.C.

Tomando o limite para  $\Delta x, \Delta y, \Delta z$  tendendo a zero:

$$\begin{aligned} \frac{\partial}{\partial x} k \frac{\partial T}{\partial x} + \frac{\partial}{\partial y} k \frac{\partial T}{\partial y} + \frac{\partial}{\partial z} k \frac{\partial T}{\partial z} &= \frac{\partial}{\partial t} \left[ \rho \left( p + \frac{V^2}{2} \right) \right] + \\ &+ \frac{\partial}{\partial x} \left[ \rho u \left( p + \frac{V^2}{2} \right) \right] + \frac{\partial}{\partial y} \left[ \rho v \left( p + \frac{V^2}{2} \right) \right] + \frac{\partial}{\partial z} \left[ \rho w \left( p + \frac{V^2}{2} \right) \right] \\ &+ \frac{\partial}{\partial x} (pu) + \frac{\partial}{\partial y} (pv) + \frac{\partial}{\partial z} (pw) + D \end{aligned}$$

Com

$$\begin{aligned} D &= \frac{\partial}{\partial x} [(\tau_{xx}u) + (\tau_{xy}v) + (\tau_{xz}w)] + \\ &+ \frac{\partial}{\partial y} [(\tau_{xy}u) + (\tau_{yy}v) + (\tau_{yz}w)] + \\ &+ \frac{\partial}{\partial z} [(\tau_{zx}u) + (\tau_{zy}v) + (\tau_{zz}w)] \end{aligned}$$

Expandindo os 4 termos do lado direito de eq. e usando a eq. da conservação da massa:

$$\nabla(k\nabla T) = \rho \frac{D}{Dt} \left( p + \frac{V^2}{2} \right) + \nabla(p\vec{v}) + D$$

## Equação de Balanço de Energia em Termos de Temperatura.

$$de = dh - d\left(\frac{p}{\rho}\right)$$

$$dh = C_p dT + \frac{1}{\rho}(1 - \beta T) dp$$



$$\rho C_p \frac{DT}{Dt} = \nabla(K\nabla T) + \beta T \frac{DP}{Dt} + \mu\phi$$

→ Taxa de aumento de entalpia

→ calor transportado por condução

→ Trabalho devido a efeitos de compressibilidade

→ dissipação viscosa

$$\phi = 2 \left[ \left( \frac{\partial u}{\partial x} \right)^2 + \left( \frac{\partial v}{\partial y} \right)^2 + \left( \frac{\partial w}{\partial z} \right)^2 \right] + \left[ \frac{\partial v}{\partial x} + \frac{\partial u}{\partial y} \right]^2 + \left[ \frac{\partial w}{\partial y} + \frac{\partial v}{\partial z} \right]^2 + \left[ \frac{\partial u}{\partial z} + \frac{\partial w}{\partial x} \right]^2$$

## Resumo das equações de conservação

- Equação de conservação da massa.
- Equação de conservação da quantidade de movimento.
- Equação de conservação da energia

Equação de conservação da massa:

$$\left[ \begin{array}{l} \text{Variação da Massa} \\ \text{no v.c. entre } t \text{ e } t + \Delta t \end{array} \right] = \left[ \begin{array}{l} \text{balanço dos fluxos de massa} \\ \text{entrando e saindo no v.c.} \end{array} \right]$$

$$\frac{\partial \rho}{\partial t} = - \left[ \frac{\partial \rho u}{\partial X} + \frac{\partial \rho v}{\partial y} + \frac{\partial \rho w}{\partial Z} \right]$$

Usando o operador divergente:

$$\frac{\partial \rho}{\partial t} = -\nabla(\rho \vec{v})$$

Se escoamento incompressível:

$$\frac{\partial \rho}{\partial t} = 0 \Rightarrow \nabla(\rho \vec{v}) = 0$$

$$\frac{\partial \rho u}{\partial X} + \frac{\partial \rho v}{\partial y} + \frac{\partial \rho w}{\partial Z} = 0$$



# Equação de conservação da Quantidade de Movimento:



Q.M entra – Q.M. sai  
+ balanço de fluxo de  
Q.M no v.c

Forças da Pressão  
Forças Viscosas  
Forças de Campo

$$\frac{\partial \rho u}{\partial t} + \frac{\partial \rho u u}{\partial x} + \frac{\partial \rho u v}{\partial y} + \frac{\partial \rho u w}{\partial z} = -\frac{\partial p}{\partial x} + \frac{\partial \tau_{xx}}{\partial x} + \frac{\partial \tau_{xy}}{\partial y} + \frac{\partial \tau_{xz}}{\partial z} + \rho g_x(x)$$

$$\frac{\partial \rho v}{\partial t} + \frac{\partial \rho v u}{\partial x} + \frac{\partial \rho v v}{\partial y} + \frac{\partial \rho v w}{\partial z} = -\frac{\partial p}{\partial y} + \frac{\partial \tau_{yx}}{\partial x} + \frac{\partial \tau_{yy}}{\partial y} + \frac{\partial \tau_{yz}}{\partial z} + \rho g_y(y)$$

$$\frac{\partial \rho w}{\partial t} + \frac{\partial \rho w u}{\partial x} + \frac{\partial \rho w v}{\partial y} + \frac{\partial \rho w w}{\partial z} = -\frac{\partial p}{\partial z} + \frac{\partial \tau_{zx}}{\partial x} + \frac{\partial \tau_{zy}}{\partial y} + \frac{\partial \tau_{zz}}{\partial z} + \rho g_z(z)$$

Equação na forma vetorial.

$$\frac{\partial \rho \vec{V}}{\partial t} + \nabla(\rho \vec{V} \vec{V}) = -\nabla \bar{p} - \nabla \vec{\tau} + \rho \vec{g}$$

As equações se simplificam para escoamento incompressíveis.

Coordenadas cartesianas

$$\rho \left( \frac{\partial v}{\partial t} + u \frac{\partial v}{\partial x} + v \frac{\partial v}{\partial y} + w \frac{\partial v}{\partial z} \right) = -\frac{\partial p}{\partial x} + \mu \left( \frac{\partial^2 u}{\partial x^2} + \frac{\partial^2 u}{\partial y^2} + \frac{\partial^2 u}{\partial z^2} \right) + \rho g_x$$

Termos convectivos

Termos difusivos

$$\rho \left( \frac{\partial v}{\partial t} + u \frac{\partial v}{\partial x} + v \frac{\partial v}{\partial y} + w \frac{\partial v}{\partial z} \right) = -\frac{\partial p}{\partial y} + \mu \left( \frac{\partial^2 v}{\partial x^2} + \frac{\partial^2 v}{\partial y^2} + \frac{\partial^2 v}{\partial z^2} \right) + \rho g_y$$

$$\rho \left( \frac{\partial w}{\partial t} + u \frac{\partial w}{\partial x} + v \frac{\partial w}{\partial y} + w \frac{\partial w}{\partial z} \right) = -\frac{\partial p}{\partial z} + \mu \left( \frac{\partial^2 w}{\partial x^2} + \frac{\partial^2 w}{\partial y^2} + \frac{\partial^2 w}{\partial z^2} \right) + \rho g_z$$

## Coordenadas Cilíndricas

Direção r:

$$\rho \left[ \frac{\partial v_r}{\partial t} + v_r \frac{\partial v_r}{\partial r} + \frac{V_\phi}{R} \frac{\partial v_r}{\partial \phi} - \frac{\partial v_\phi}{\partial r} + V_z \frac{\partial V_r}{\partial Z} \right] = - \frac{\partial P}{\partial r} + \rho g_r + \mu \left( \frac{\partial}{\partial r} \frac{1}{r} \frac{\partial}{\partial r} r V_r + \frac{1}{r^2} \frac{\partial^2 V_r}{\partial \phi^2} - \frac{Z}{rZ} \frac{\partial V_\phi}{\partial \phi} + \frac{\partial^2 V_r}{\partial Z^2} \right)$$

Direção  $\phi$ :

$$\rho \left( \frac{\partial v_\phi}{\partial t} + v_r \frac{\partial v_\phi}{\partial r} + \frac{V_\phi}{r} \frac{\partial v_\phi}{\partial \phi} - \frac{V_r V_\phi}{r} + V_z \frac{\partial V_r}{\partial Z} \right) = - \frac{1}{r} \frac{\partial P}{\partial \phi} + \rho g_\phi + \mu \left( \frac{\partial}{\partial r} \frac{1}{r} \frac{\partial}{\partial r} r V_\phi + \frac{1}{r^2} \frac{\partial^2 V_\phi}{\partial \phi^2} - \frac{Z}{rZ} \frac{\partial V_r}{\partial \phi} + \frac{\partial^2 V_\phi}{\partial Z^2} \right)$$

Direção Z:

$$\rho \left( \frac{\partial v_z}{\partial t} + v_r \frac{\partial V_z}{\partial r} + \frac{V_\phi}{r} \frac{\partial V_z}{\partial \phi} + V_z \frac{\partial V_r}{\partial Z} \right) = - \frac{\partial P}{\partial Z} + \rho g_z + \mu \left( \frac{1}{r} \frac{\partial}{\partial r} r \frac{\partial V_z}{\partial r} + \frac{1}{r^2} \frac{\partial^2 V_z}{\partial \phi^2} + \frac{\partial^2 V_z}{\partial Z^2} \right)$$

## Equação de conservação de energia

$$\Delta Q = \Delta E + \Delta W$$

→ Calor adicionado ao v.c

→ variação da Energia Total

→ Trabalho realizado pelo fluido

$$\rho C_p \frac{DT}{Dt} = \nabla \cdot (K \nabla T) + T \beta \frac{DP}{Dt} + \mu \Phi$$

compressibilidade

dissipação viscosa

Para escoamentos incompressíveis:

$$\rho C_p \left( \frac{\partial T}{\partial t} + u \frac{\partial T}{\partial X} + v \frac{\partial T}{\partial y} + w \frac{\partial T}{\partial Z} \right) = \frac{\partial}{\partial X} \left( K \frac{\partial T}{\partial X} \right) + \frac{\partial}{\partial y} \left( K \frac{\partial T}{\partial y} \right) + \frac{\partial}{\partial Z} \left( K \frac{\partial T}{\partial Z} \right)$$

### Algumas Definições para as Variáveis $\Psi$ , J e f

Nesta seção serão apresentadas algumas definições para as variáveis  $\Psi$ , J e f empregadas em diferentes equações de conservação com o intuito de mostrar a generalidade das formas das Eqs. (1) e (4). Por conveniência estas definições estão mostradas na Tabela 1 e referem-se às equações de conservação de massa, quantidade de movimento, vorticidade, energia térmica, energia cinética e entropia.

Tabela 1 – Definições das variáveis  $\Psi$ , J e f para as equações de conservação de massa, quantidade de movimento, vorticidade, energia térmica, energia cinética e entropia.

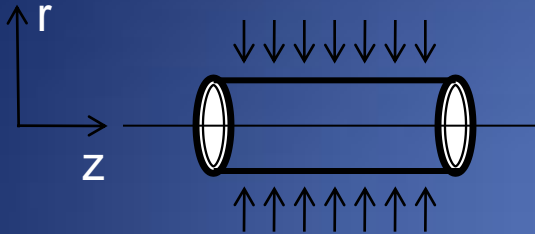
Variável	$\Psi$	J	f
Massa	1	0	0
Quantidade Movimento	$\vec{V}$	$\mathbf{T}$	$\rho\vec{g} + \rho\vec{a}_l$
Vorticidade	$\vec{\omega}$	$\mu\nabla\vec{\omega}$	$\vec{\omega} \cdot \nabla\vec{V}$
Energia Cinética	k	$\mathbf{T} \cdot \vec{V}$	$\mathbf{T} \cdot \nabla\vec{V} + \rho\vec{V} \cdot \vec{g}$
Energia Interna	$\hat{u}$	$\vec{q}_k$	$\mathbf{T} \cdot \nabla\vec{V} + q'''$
Entropia	s	$\frac{\vec{q}_k}{\theta}$	$\frac{\rho q'''}{\theta} + \frac{k}{\theta^2}(\nabla\theta)^2 + \frac{\mathbf{T} \cdot \nabla\vec{V} - P\nabla \cdot \vec{V}}{\theta}$

Na tabela 1,  $\mathbf{T}$  é o tensor das tensões no fluido, u e s a energia interna e entropia específica do fluido;  $\theta$  é a temperatura,  $q_k$  é o fluxo de calor por unidade de área e  $q'''$  fonte ou sorvedouro de calor por unidade de volume.

As definições contidas na Tabela 1 permitem, numa notação compacta, o estabelecimento das equações de conservação e transporte acima listadas. Para tanto, é necessário a definição de equações auxiliares ou constitutivas para a completa especificação das equações. Isto aplica-se especificamente ao tensor de tensões do fluido,  $\mathbf{T}$ , ao fluxo de calor por condução,  $q_k$  e às fontes/sumidouros volumétricos de calor,  $q'''$ . As seções seguintes abordam estes temas específicos juntamente com uma interpretação física detalhada dos termos de cada uma das equações de transporte.

## Exemplo de aplicação:

Cálculo da queda de pressão e coeficiente de transferência de calor num tubo horizontal uniformemente aquecido.



- Hipóteses:
- (a) Regime estacionário
  - (b) Fluido incompressível
  - (c) Propriedades físicas etc..
  - (d) escoam. Laminar, plenamente e desenvolvido
  - (e) Fluxo de calor uniforme

Eq. Navier-Stokes em coordenadas cilíndricas:

$$\frac{\partial p}{\partial z} = \mu \frac{1}{r} \frac{\partial}{\partial r} \left( r \frac{\partial V_z}{\partial r} \right) ;$$

$$\frac{\partial p}{\partial r} = \frac{\partial p}{\partial \phi} = 0$$

Considerando escoamento plenamente desenvolvido  $\rightarrow V = V(r)$

$$V_z(r, z) = V_z(r) \Rightarrow \frac{\partial V_z}{\partial z} = 0$$

$$\frac{\partial p}{\partial z} = \mu \left[ \frac{\partial^2 V_z}{\partial r^2} + \frac{1}{r} \frac{\partial V_z}{\partial r} \right]$$

Varia com "Z"

Varia com "r"

$$\frac{\partial p}{\partial z} = cte = \mu \left[ \frac{\partial^2 V_z}{\partial r^2} + \frac{1}{r} \frac{\partial V_z}{\partial r} \right]$$

Integrando duas vezes em r

$$\frac{\partial p}{\partial z} = \frac{\mu}{r} \frac{1}{\partial r} \left( r \frac{\partial V_z}{\partial r} \right)$$

$$\int \frac{\partial p}{\partial z} \frac{r}{\mu} = \int \frac{1}{\partial r} \left( r \frac{\partial V_z}{\partial r} \right)$$

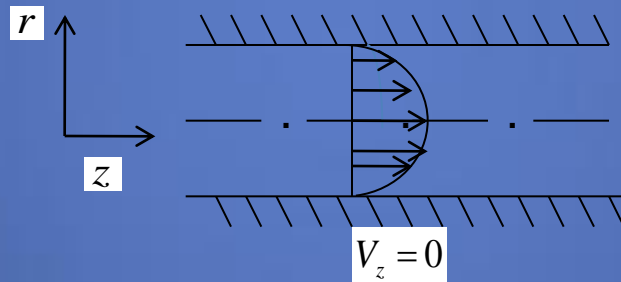
$$\frac{dp}{dz} \frac{r^2}{2\mu} + C_1 = r \frac{\partial V_z}{\partial r}$$

Cond. de contorno

$$\left. \frac{\partial V_z}{\partial r} \right|_{r=0} = 0 \Rightarrow C_1 = 0$$

$$\int \frac{dp}{dz} \frac{r}{2\mu} = \int \frac{\partial V_z}{\partial r}$$

$$\frac{dp}{dz} \frac{r^2}{4\mu} + C_2 = V_z$$



Cond. de contorno

$$V_z(r = R) = 0$$
$$\Rightarrow C_2 = - \frac{dp}{dz} \frac{R^2}{4\mu}$$

$$V_z(r) = \frac{1}{4\mu} \frac{dp}{dz} (R^2 - r^2)$$



Velocidade média na seção transversal:

$$\bar{V}_z = \frac{1}{\pi R^2} \int_0^R V_z(r) 2\pi r dr$$

$$\bar{V}_z = \frac{1}{\pi R^2} \int_0^R \frac{-1}{4\mu} \frac{dp}{dz} (R^2 - r^2) 2\pi r dr$$



$$\bar{V}_z = -\frac{1}{R^2 4\mu} \frac{dp}{dz} \int_0^R (R^2 r - r^3) dr$$



$$\bar{V}_z = \frac{R^2}{8\mu} \frac{dp}{dz}$$



$$\frac{dp}{dz} = \frac{8\mu \bar{V}_z}{R^2}$$

Vimos que:

$$\begin{cases} V_z(r) = -\frac{1}{4\mu} \frac{dp}{dz} (R^2 - r^2) & (*) \\ \frac{dp}{dz} = -\frac{8\mu \bar{V}_z}{R^2} & (**) \end{cases}$$

→ Perda de pressão ao longo do tubo

Substituindo \*\* em \*

$$V_z(r) = 2\bar{V}_z \left[ 1 - \frac{r^2}{R^2} \right] \longrightarrow \text{Perfil de velocidade}$$

O coeficiente de convecção “ $h$ ” é definido em função da temperatura na superfície do tubo  $T_w(R,Z)$  e da temperatura média do fluido na seção transversal  $T_\infty = f(z)$

$$h = \frac{q''}{T_w - T_\infty} = \frac{-k \left( \frac{\partial T}{\partial r} \right)_{r=R}}{T_w - T_\infty}$$

Se “  $C_p$ ” for constante, a temperatura média no fluido pode ser obtida a partir da entalpia média  $\overline{H(z)}$  :

$$\overline{H(z)} = \frac{\int H(r, z) \rho V_z(r, z) dA}{\int_A \rho V_z(r, z) dA}$$

Como  $C_p$  é constante:

$$T_\infty(z) = \frac{\int_0^R T(r, z) V_z(r) 2\pi r dr}{\int_A V_z(r) 2\pi r dr}$$

Eq. de balanço de energia:

$$\rho C_p \left[ V_z \frac{\partial T}{\partial z} + V_r \frac{\partial T}{\partial r} \right] = k \left[ \frac{1}{r} \frac{\partial}{\partial r} \left( r \frac{\partial T}{\partial r} \right) + \frac{\partial^2 T}{\partial z^2} \right] + \underbrace{\mu \left( \frac{\partial V_z}{\partial r} \right)^2}_{\text{(dissipação viscosa)}} = 0$$

(dissipação viscosa)

$$V_z \frac{\partial T}{\partial z} = \frac{k}{\rho C_p} \frac{1}{r} \frac{\partial}{\partial r} \left( r \frac{\partial T}{\partial r} \right)$$

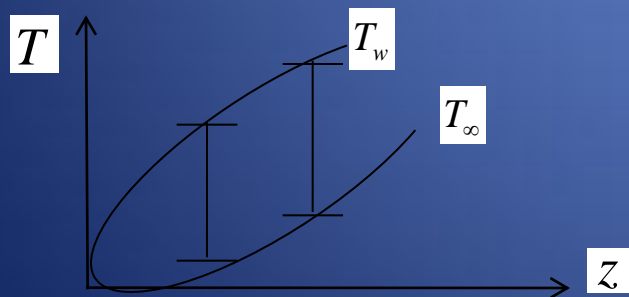
Condições de contorno:

$$\begin{cases} \left( \frac{\partial T}{\partial r} \right)_{r=0} = 0 \\ -k \left( \frac{\partial T}{\partial r} \right)_{r=R} = q'' \\ T(r, z=0) = T_0 \end{cases}$$

As duas primeiras C.C. informam sobre a forma do perfil. A terceira apenas estabelece um nível de temperatura.

Hipótese de escoamento plenamente desenvolvido  $\rightarrow$  perfil constante.

$$T(r, z) = A_1 z + \psi(r)$$



$$h = \frac{q''}{T_w - T_\infty} \Rightarrow h = f[\psi(r)]$$



Integrando em “r”:

$$\frac{1}{2} \frac{\rho C_p \bar{V}_z}{k R^2} (2R^2 r - r^3) A_1 + C_1 = \frac{\partial \psi}{\partial r}$$

Usando a condição de contorno:

$$\left. \frac{\partial \psi}{\partial r} \right)_{r=0} = 0 \Rightarrow C_1 = 0$$

Perfil simétrico

Integrando novamente em r:

$$\psi_{(r)} = \frac{1}{8} \frac{\rho C_p \bar{V}_z}{k R^2} (4R^2 r^2 - r^4) A_1 + C_2$$

As constantes A1 e C2 são calculadas com o auxílio das duas C.C. restantes.

$$\left. -k \frac{\partial T}{\partial r} \right)_{r=R} = q''$$
$$T(r, z=0) = T_0$$

Vimos que se  $C_p$  é constante, então:

$$T_\infty(z) = \frac{\int_0^R T(r, z) V_z(r) 2\pi r dr}{\int_0^R V_z(r) 2\pi r dr}$$

$$V_z(r) = 2\bar{V}_z \left[ 1 - \frac{r^2}{R^2} \right]$$

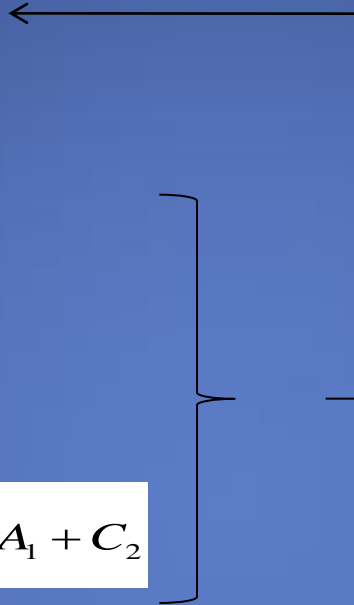
$$T(r, z) = A_1 z + \psi(r)$$

$$\psi(r) = \frac{1}{8} \frac{\rho C_p \bar{V}_z}{k R^2} (4R^2 r^2 - r^2) A_1 + C_2$$

$$T_\infty(z) = A_1 z + \frac{7\rho C_p \bar{V}_z R^2}{48k} A_1 + C_2$$

$$T_w = T_{(r=R, z)} = A_1 z + \frac{3\rho C_p \bar{V}_z R^2}{8k} A_1 + C_2$$

$$T_w - T_\infty = \frac{11\rho C_p \bar{V}_z R^2}{8k} A_1$$



Sabemos que:

$$h = \frac{q''}{T_w - T_\infty} = \frac{-k \left. \frac{\partial T}{\partial r} \right|_{r=R}}{T_w - T_\infty}$$

Vimos que:

$$T(r, z) = A_1 z + \psi(r)$$
$$\frac{\partial T}{\partial r} = \frac{\partial \psi}{\partial r}$$

Logo

$$h = \frac{-k \left. \frac{\partial \psi}{\partial r} \right|_{r=R}}{T_w - T_\infty}$$

Mas

$$\frac{\partial \psi}{\partial r} = \frac{1}{2} \frac{\rho C_p \bar{V}_z}{k R^2} (2R^2 r - r^3) A_1$$

Aplicando para  $r = R$  temos:

$$\frac{\partial \psi}{\partial r} = \frac{1}{2} \frac{\rho C_p \bar{V}_z}{k R^2} (2R^3 - R^3) A_1$$
$$\left. \frac{\partial \psi}{\partial r} \right|_{r=R} = \frac{1}{2} \frac{\rho C_p \bar{V}_z}{k} R A_1$$



$$h = \frac{-k \frac{1}{2} \frac{\rho C_p \bar{V}_z}{k} R A_1}{\frac{11}{48} \frac{\rho C_p \bar{V}_z}{k} A_1 R^2}$$

$$h = 2.18 \frac{k}{R}$$

—————> Coeficiente de transferência de calor convectivo

Definindo o adimensional “ $Nu$ ” como sendo:

$$Nu = \frac{hD}{k} = \frac{h2R}{k}$$

$$Nu = 2.18 \frac{k}{R} \times \frac{2R}{k} = \underline{\underline{4.36}}$$

$Nu$  —> representa a razão entre o fluxo de calor existente através da superfície e o fluxo de calor que existiria caso a transferência de calor ocorresse apenas através de mecanismos de condução térmica.

## Transferência de Calor por Convecção: Camada Limite Térmica

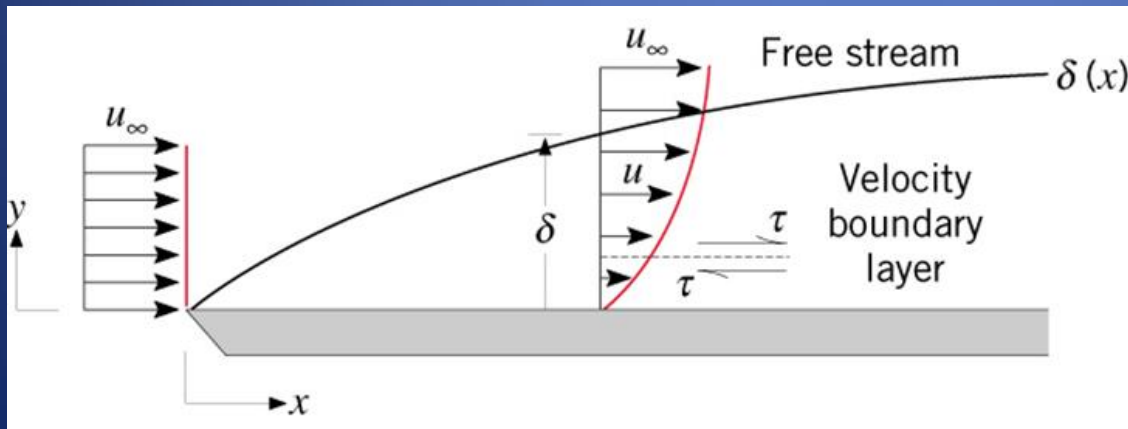
Seja um escoamento de um fluido Newtoniano, sobre uma placa plana.

Pode-se observar o aparecimento de uma camada limite onde

Predominam os efeitos viscosos e vale a Lei de Newton da Viscosidade.

O fluxo da Q.M. na direção (x) se dá por difusão.

O fluxo de Q.M. na direção (y) altera o perfil de velocidade na direção (x)



$$\delta \rightarrow \frac{u(y)}{u_{\infty}} = 0.99$$

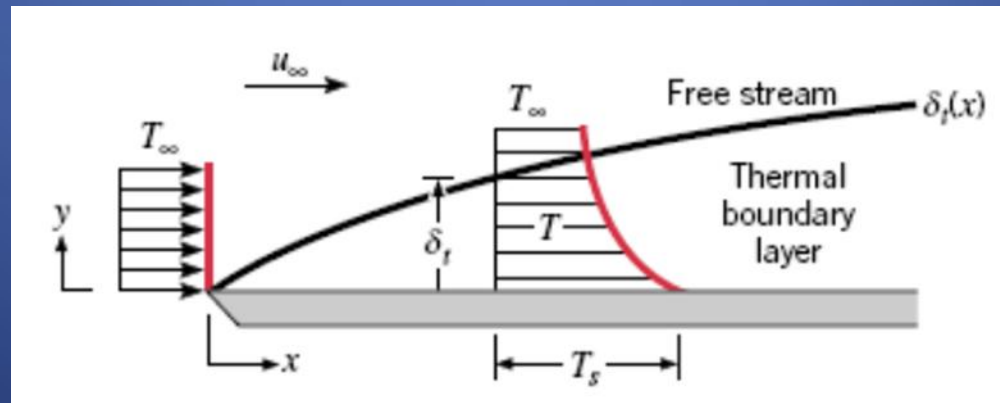
$$\tau_s = \mu \left. \frac{\partial u}{\partial y} \right|_{y=0}$$

## Transferência de Calor por Convecção: Camada Limite Térmica

O conceito de camada limite térmica é uma extensão do conceito de camada limite dinâmica (já vista na Mecânica dos Fluidos) ao campo de temperatura num escoamento. A camada limite térmica é a zona na qual os gradientes de temperatura são importantes - junto a paredes sólidas (fronteiras do escoamento).

O fluxo de calor na parede altera o perfil de temperatura.

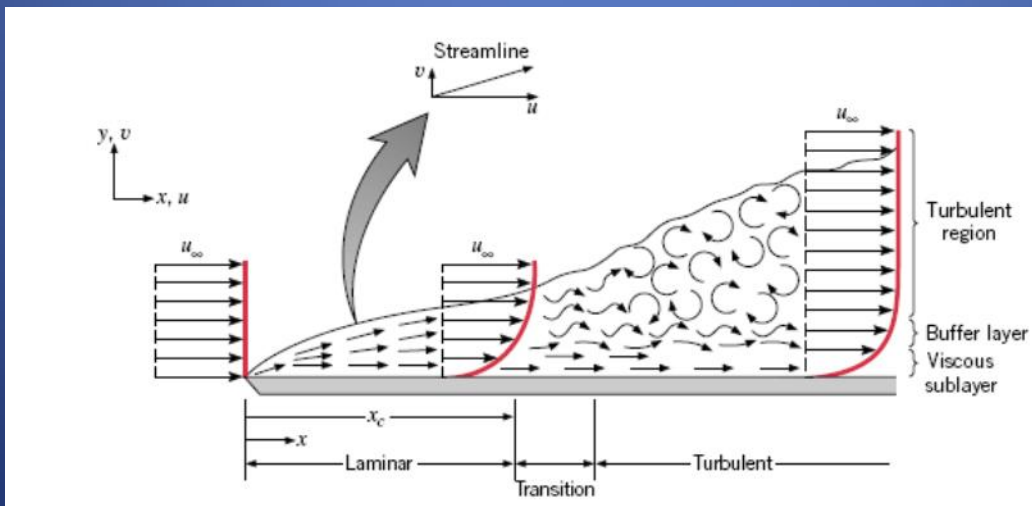
A espessura da camada limite ( $\delta_t$ ) aumenta, geralmente, na direção do escoamento ( $x$ ). Associada a este aumento, existe uma diminuição do coeficiente de convecção local ( $h_x$ ).



## Transferência de Calor por Convecção: Camada Limite Térmica

A camada limite pode ser laminar ou turbulenta. Os coeficientes de convecção são em geral maiores para o escoamento turbulento do que para o escoamento laminar.

Num mesmo escoamento podem existir os dois tipos de camada limite, sendo necessário contabilizar ambos para o cálculo do coeficiente de convecção médio. O comprimento da zona laminar pode ser, ou não, desprezível, dependendo da geometria e a velocidade do escoamento. Para uma placa plana, usada como exemplo, ao fim de um determinado comprimento ( $x$  crítico), se a velocidade  $u_m$  for suficientemente grande, a camada limite dinâmica torna-se turbulenta.



## Transferência de Calor por Convecção: Camada Limite Térmica

Existe uma diferença entre valores locais e valores médios do coeficiente de convecção.

O coeficiente de transf. calor convectivo médio é a integração dos coef. transf. calor convectivo local para uma dada área superficial:

$$\delta_t \rightarrow \frac{T_s - T(y)}{T_s - T_\infty} = 0.99 \quad q_s'' = -k_f \left. \frac{\partial T}{\partial y} \right|_{y=0}$$

$$h \equiv \frac{-k_f \left. \frac{\partial T}{\partial y} \right|_{y=0}}{T_s - T_\infty}$$

$$\bar{h} = \frac{1}{A} \int h da$$

## Transferência de Calor por Convecção: Camada Limite Térmica

Como caracterizar as condições de regime laminar ou turbulento?

Que condições estão associadas à transição?

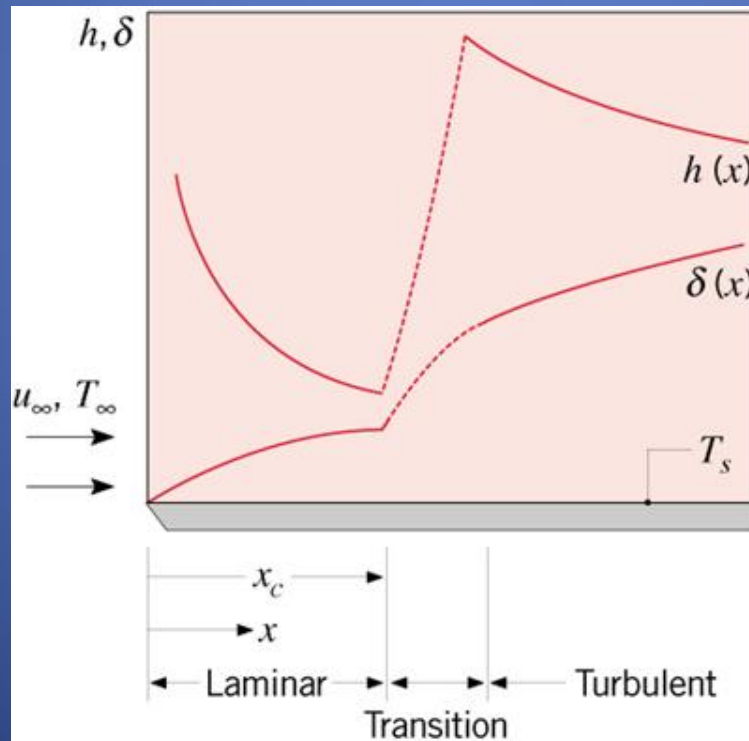
Por quê o Número de Reynolds é apropriado para caracterizar a transição de laminar para turbulento?

## Transferência de Calor por Convecção: Camada Limite Térmica

O valor típico do número de Reynolds crítico para a transição é de  $5 \times 10^5$ .

Para este valor, a distância crítica ( $x_{cr}$ ) correspondente calcula-se com a expressão:

$$\text{Re}_{cr} = \frac{\rho c_{\infty} x_{cr}}{\eta} = 5 \cdot 10^5$$



## O Significado Físico dos Números Adimensionais:

Os números adimensionais permitem reduzir a análise experimental de um problema físico de forma considerável.

Isso é possível se podemos encontrar correlações apropriadas usando Números adimensionais.

Há duas formas de se números adimensionais para um dado problema físico:

- a) Teorema de Pi-Buckingham (Langaar, 1951);
- b) E.D.P. adimensionalizadas.



## O Significado Físico dos Números Adimensionais:

### O Número de Reynolds (Re):

O escoamento em uma placa plana envolve, dois mecanismos físicos independentes que governam todo o escoamento: o primeiro deles é a *inércia (fluxo advectivo)*, caracterizada pelo fluxo advectivo da quantidade de movimento do fluido; o segundo mecanismo físico é a *viscosidade (fluxo difusivo)*. Assim, o que determina o movimento do fluido de uma maneira global é a razão entre a magnitude global das *Forças Inerciais*, proporcionais ao produto  $U\rho$ , e a magnitude global das *Forças Viscosas*, proporcionais a  $\mu L$ .

Assim, o *Número de Reynolds (Re)* é o parâmetro determinante do escoamento da porque ele é uma medida da importância relativa entre a magnitude global dos esforços de natureza inercial e viscosa que atuam no fluido.

Como  $U$  e  $L$  são características das condições de contorno do problema, e  $\rho$  e  $\mu$  são características do fluido, define-se a Viscosidade Cinemática, como sendo:

$$v = \frac{\mu}{\rho}$$

onde  $\mu$  é a viscosidade dinâmica. o Numero de Reynolds pode ser representado como:

$$\text{Re} = \frac{\rho UL}{\mu}$$

## O Número de Prandtl (Pr):

- Número de Prandtl: razão entre a difusividade da Q.M. e a difusividade térmica. Está relacionado ao crescimento relativo entre as camadas-limite fluidodinâmica e térmica:

$$\text{Pr} = \frac{\nu}{\alpha} \qquad \text{Pr}^n \approx \frac{\delta}{\delta_t}$$

- $\text{Pr} \ll 1$ : metais e líquidos, difusão térmica mais eficiente que difusão de momentum,  $\delta_t \gg \delta$ .
- $\text{Pr} \approx 1$ : gases,  $\delta_t \approx \delta$ .
- $\text{Pr} \gg 1$ : óleos, difusão de momentum mais eficiente que difusão térmica,  $\delta_t \ll \delta$ .

O Número de Nusselt (Nu):

$$h = h(T_s, T_\infty, \mu, \rho, k, c_p, \mathbf{u}, x, \text{geometria, dimensões})$$

Utilizando o teorema dos Pi de Buckingham e tornando o problema adimensional:

$$\text{Nu} = \text{Nu}(x^*, \text{Re}, \text{Pr}) \quad \bar{\text{Nu}} = \bar{\text{Nu}}(\text{Re}, \text{Pr})$$


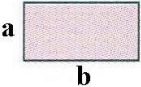

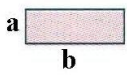
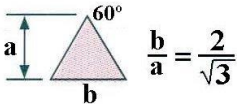
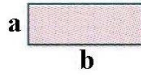
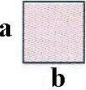
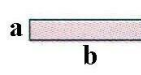
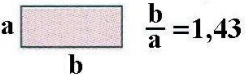

$$\text{Nu} = \frac{hL}{k} \quad \text{Re} = \frac{\rho VL}{\mu} \quad \text{Pr} = \frac{\nu}{\alpha}$$

O número de Nusselt representa a razão entre a transferência de calor convectiva e a puramente condutiva entre um fluido e uma superfície submetida a um fluxo de calor.

## O Número de Nusselt (Nu):

### Correlações para escoamentos interiores laminares, na zona desenvolvida:

Se  $L \gg X_e$  o número de Nusselt médio é aproximadamente igual ao número de Nusselt da zona de escoamento desenvolvido. As diferentes configurações da secção levam a usar  $D_H$  (diâmetro hidráulico).

<b>Tab. 9.1 - Números de Nusselt em Escoamentos Laminares Desenvolvidos</b>					
$Nu_D = \frac{\alpha D_H}{\lambda}$ , sendo $D_H = \frac{4S}{P}$					
Secção	$\dot{q}_P = C \cdot te$	$T_P = C \cdot te$	Secção	$\dot{q}_P = C \cdot te$	$T_P = C \cdot te$
	4,36	3,66	 $\frac{b}{a} = 2$	4,12	3,39
	4,02	3,34	 $\frac{b}{a} = 3$	5,33	4,44
 $\frac{b}{a} = \frac{2}{\sqrt{3}}$	3,11	2,47	 $\frac{b}{a} = 4$	4,79	3,96
 $\frac{b}{a} = 1$	3,61	2,98	 $\frac{b}{a} = 8$	6,49	5,60
 $\frac{b}{a} = 1,43$	3,73	3,08	 $\frac{b}{a} = \infty$	8,23	7,54

## O Número de Nusselt (Nu):

### Correlações para escoamentos interiores turbulentos, na zona desenvolvida:

Para ambos os casos (fluxo de calor ou temperatura constante):

$$\mathbf{Nu_D = 0,023 Re_{DH}^{0,8} Pr^n} \quad \begin{cases} 0,7 < Pr < 160 \\ Re_D \geq 10^4 \\ L/D_i \geq 10 \end{cases} \quad (2.23)$$

onde  $n = 0,4$  no aquecimento e  $n = 0,3$  no arrefecimento. Para os escoamentos onde ocorrem variações sensíveis das propriedades fluidos, deve usar-se a seguinte expressão:

$$\mathbf{Nu_D = 0,027 Re_{DH}^{0,8} Pr^{1/3} \left( \frac{\mu_m}{\mu_P} \right)^{0,14}} \quad \begin{cases} 0,7 < Pr < 16700 \\ Re_D \geq 10^4 \\ L/D_i \geq 10 \end{cases} \quad (2.24)$$

onde  $\mu_m$  e  $\mu_P$  são as viscosidades dinâmicas do fluido (kg/s.m) lidas para as temperaturas média e superficial, respectivamente.

### Para a zona de entrada de escoamentos interiores turbulentos:

$$\mathbf{Nu_D = 0,036 Re_{DH}^{0,8} Pr^{1/3} \left( \frac{D}{L} \right)^{0,055}} \quad \begin{cases} 10 < L/D < 400 \end{cases} \quad (2.25)$$

## O Número de Peclet (Pe):

O Número de Peclet (Pe) pode ser interpretado como sendo o Re para a transferência de energia térmica, ou seja, é a relação entre o fluxo advectivo da energia térmica na direção (x) e o fluxo de energia por difusão na mesma direção.

$$Pe = \frac{u_{\infty} L}{\alpha} = Pe_L^u = Re_L^u Pr$$

Para  $Pr \gg 1$ :

$$Pe \approx Re_L^u Pr Pr^{-\frac{1}{3}}$$

## O Número de Mach (Ma):

Considerando-se um escoamento compressível (gás):

$$\rho \frac{\partial \vec{u}}{\partial t} = -\nabla \vec{p}$$

Sendo a viscosidade desprezível, a conversão irreversível de energia mecânica em energia interna e portanto desprezível, e se o fluido possui baixa condutividade térmica, o escoamento é aproximadamente isoentrópico de maneira que a equação de estado  $p = p(\rho, T)$  pode ser aproximada por  $p = p(\rho)|_s$ .

$$\nabla p = \left( \frac{\partial p}{\partial \rho} \right)_s \nabla \rho$$

Assim, temos que:

$$\nabla p = \left( \frac{\partial p}{\partial \rho} \right)_s \nabla \rho$$

## O Número de Froude (Fr):

No caso de existir um campo gravitacional  $\vec{g}$  no escoamento, forças gravitacionais serão também exercidas sobre o fluido, e o escoamento será determinado pela magnitude global relativa das forças inerciais, viscosas, e gravitacionais. Ex: escoamentos onde há superfície livre (canais, ondas, etc.).

São necessários dois grupos adimensionais para se determinar o escoamento, sendo um deles o  $Re$ , o outro pode representar tanto a razão entre as magnitudes globais das *forças inerciais* e das *forças gravitacionais*, como a razão entre as magnitudes globais das *forças viscosas* e as *forças gravitacionais*.

Adimensionalizando-se a equação do momento, modificada de maneira a se introduzir os efeitos do campo gravitacional  $\vec{g}$ :

$$\rho \frac{\partial \vec{u}}{\partial t} = -\nabla \vec{p} - \mu \nabla^2 \vec{u} + \rho \vec{g}$$

Que em termos de variáveis adimensionais, fica:

$$\rho U \frac{D\vec{u}}{Dt} = \rho U \nabla \vec{p} + \frac{\mu}{L \nabla^2} \vec{u} + \frac{\rho L}{U} \vec{g}$$

Assim, outro grupo adimensional, quando um deles é  $Re$ :

$$\frac{gL}{U^2} \Rightarrow Fr = \frac{U}{\sqrt{gL}}$$



DIMENSIONLESS NUMBERS OF FLUID MECHANICS<sup>12</sup>

Name(s)	Symbol	Definition	Significance
Alfvén, Kármán	Al, Ka	$V_A/V$	*(Magnetic force/ inertial force) <sup>1/2</sup>
Bond	Bd	$(\rho' - \rho)L^2g/\Sigma$	Gravitational force/ surface tension
Boussinesq	B	$V/(2gR)^{1/2}$	(Inertial force/ gravitational force) <sup>1/2</sup>
Brinkman	Br	$\mu V^2/k\Delta T$	Viscous heat/conducted heat
Capillary	Cp	$\mu V/\Sigma$	Viscous force/surface tension
Carnot	Ca	$(T_2 - T_1)/T_2$	Theoretical Carnot cycle efficiency
Cauchy, Hooke	Cy, Hk	$\rho V^2/\Gamma = M^2$	Inertial force/ compressibility force
Chandra- sekhar	Ch	$B^2L^2/\rho\nu\eta$	Magnetic force/dissipative forces
Clausius	Cl	$LV^3\rho/k\Delta T$	Kinetic energy flow rate/heat conduction rate
Cowling	C	$(V_A/V)^2 = Al^2$	Magnetic force/inertial force
Crispation	Cr	$\mu\kappa/\Sigma L$	Effect of diffusion/effect of surface tension
Dean	D	$D^{3/2}V/\nu(2r)^{1/2}$	Transverse flow due to curvature/longitudinal flow
[Drag coefficient]	$C_D$	$(\rho' - \rho)Lg/\rho'V^2$	Drag force/inertial force
Eckert	E	$V^2/c_p\Delta T$	Kinetic energy/change in thermal energy
Ekman	Ek	$(\nu/2\Omega L^2)^{1/2} =(Ro/Re)^{1/2}$	(Viscous force/Coriolis force) <sup>1/2</sup>
Euler	Eu	$\Delta p/\rho V^2$	Pressure drop due to friction/ dynamic pressure
Froude	Fr	$V/(gL)^{1/2}$ $V/NL$	†(Inertial force/gravitational or buoyancy force) <sup>1/2</sup>
Gay-Lussac	Ga	$1/\beta\Delta T$	Inverse of relative change in volume during heating
Grashof	Gr	$gL^3\beta\Delta T/\nu^2$	Buoyancy force/viscous force
[Hall coefficient]	$C_H$	$\lambda/r_L$	Gyrofrequency/ collision frequency

\* (†) Also defined as the inverse (square) of the quantity shown.

Name(s)	Symbol	Definition	Significance
Hartmann	H	$BL/(\mu\eta)^{1/2} = (\text{Rm Re C})^{1/2}$	(Magnetic force/dissipative force) <sup>1/2</sup>
Knudsen	Kn	$\lambda/L$	Hydrodynamic time/collision time
Lewis	Le	$\kappa/\mathcal{D}$	*Thermal conduction/molecular diffusion
Lorentz	Lo	$V/c$	Magnitude of relativistic effects
Lundquist	Lu	$\mu_0 LV_A/\eta = \text{Al Rm}$	$\mathbf{J} \times \mathbf{B}$ force/resistive magnetic diffusion force
Mach	M	$V/C_S$	Magnitude of compressibility effects
Magnetic Mach	Mm	$V/V_A = \text{Al}^{-1}$	(Inertial force/magnetic force) <sup>1/2</sup>
Magnetic Reynolds	Rm	$\mu_0 LV/\eta$	Flow velocity/magnetic diffusion velocity
Newton	Nt	$F/\rho L^2 V^2$	Imposed force/inertial force
Nusselt	N	$\alpha L/k$	Total heat transfer/thermal conduction
Péclet	Pe	$LV/\kappa$	Heat convection/heat conduction
Poiseuille	Po	$D^2 \Delta p/\mu LV$	Pressure force/viscous force
Prandtl	Pr	$\nu/\kappa$	Momentum diffusion/heat diffusion
Rayleigh	Ra	$gH^3 \beta \Delta T/\nu \kappa$	Buoyancy force/diffusion force
Reynolds	Re	$LV/\nu$	Inertial force/viscous force
Richardson	Ri	$(NH/\Delta V)^2$	Buoyancy effects/vertical shear effects
Rossby	Ro	$V/2\Omega L \sin \Lambda$	Inertial force/Coriolis force
Schmidt	Sc	$\nu/\mathcal{D}$	Momentum diffusion/molecular diffusion
Stanton	St	$\alpha/\rho c_p V$	Thermal conduction loss/heat capacity
Stefan	Sf	$\sigma LT^3/k$	Radiated heat/conducted heat
Stokes	S	$\nu/L^2 f$	Viscous damping rate/vibration frequency
Strouhal	Sr	$fL/V$	Vibration speed/flow velocity
Taylor	Ta	$(2\Omega L^2/\nu)^2$ $R^{1/2}(\Delta R)^{3/2} \cdot (\Omega/\nu)$	Centrifugal force/viscous force (Centrifugal force/viscous force) <sup>1/2</sup>
Thring, Boltzmann	Th, Bo	$\rho c_p V/\epsilon \sigma T^3$	Convective heat transport/radiative heat transport
Weber	W	$\rho LV^2/\Sigma$	Inertial force/surface tension

## Nomenclature:

$B$	Magnetic induction
$C_s, c$	Speeds of sound, light
$c_p$	Specific heat at constant pressure (units $\text{m}^2 \text{s}^{-2} \text{K}^{-1}$ )
$D = 2R$	Pipe diameter
$F$	Imposed force
$f$	Vibration frequency
$g$	Gravitational acceleration
$H, L$	Vertical, horizontal length scales
$k = \rho c_p \kappa$	Thermal conductivity (units $\text{kg m}^{-1} \text{s}^{-2}$ )
$N = (g/H)^{1/2}$	Brunt-Väisälä frequency
$R$	Radius of pipe or channel
$r$	Radius of curvature of pipe or channel
$r_L$	Larmor radius
$T$	Temperature
$V$	Characteristic flow velocity
$V_A = B/(\mu_0 \rho)^{1/2}$	Alfvén speed
$\alpha$	Newton's-law heat coefficient, $k \frac{\partial T}{\partial x} = \alpha \Delta T$
$\beta$	Volumetric expansion coefficient, $dV/V = \beta dT$
$\Gamma$	Bulk modulus (units $\text{kg m}^{-1} \text{s}^{-2}$ )
$\Delta R, \Delta V, \Delta p, \Delta T$	Imposed differences in two radii, velocities, pressures, or temperatures
$\epsilon$	Surface emissivity
$\eta$	Electrical resistivity
$\kappa, \mathcal{D}$	Thermal, molecular diffusivities (units $\text{m}^2 \text{s}^{-1}$ )
$\Lambda$	Latitude of point on earth's surface
$\lambda$	Collisional mean free path
$\mu = \rho \nu$	Viscosity
$\mu_0$	Permeability of free space
$\nu$	Kinematic viscosity (units $\text{m}^2 \text{s}^{-1}$ )
$\rho$	Mass density of fluid medium
$\rho'$	Mass density of bubble, droplet, or moving object
$\Sigma$	Surface tension (units $\text{kg s}^{-2}$ )
$\sigma$	Stefan-Boltzmann constant
$\Omega$	Solid-body rotational angular velocity

## Equações de Conservação para o Regime Turbulento

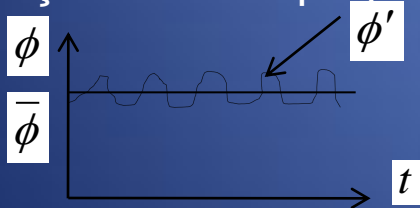
O regime turbulento de escoamento é desejável devido ao aumento do coeficiente de película “h”, como já foi visto.

- Equações de cons. não fechadas, correlações empíricas são necessárias:

### ➔ MODELOS DE TURBULÊNCIA:

- Modelo de Boussinesq
  - Modelo de Prandtl
  - Modelo  $K - E$
- } zero equações
- } duas equações

Variação de uma propriedade : (U,V,T,P,...)



$$\phi = \bar{\phi} + \phi'$$

Em um intervalo de tempo suficientemente grande  $\rightarrow \bar{\phi}' = 0$

$\bar{\phi}$  é definido em função do tempo em um ponto fixo no espaço

$$\bar{\phi} = \frac{1}{\Delta t} \int_{t_0}^{t_0 + \Delta t} \phi(t) dt$$

A integral deve ser efetuada num intervalo  $\Delta t$  de modo que  $\bar{\phi}$  seja independente do tempo.

Devido à alta freqüência do componente turbulento  $(\phi')$ , um intervalo de alguns segundos é suficiente.

$$\bar{\phi}' = \frac{1}{\Delta t} \int_{t_0}^{t_0 + \Delta t} \phi' dt = 0$$

$$\bar{u}' = 0; \quad \bar{v}' = 0; \quad \bar{p}' = 0 \quad (\bar{\rho v})' = 0$$

Mas  $\overline{u'^2}, \overline{v'^2}$ , são diferentes de zero

$$\overline{u'^2} \neq 0 \quad \overline{v'^2} \neq 0$$

$$\overline{uv'} \neq 0$$

Consideremos um escoamento bi-dimensional e incompressível ( $\rho = cte$ )

Equação de conservação da massa.

$$\frac{\partial u}{\partial x} + \frac{\partial v}{\partial y} = 0$$
$$u = \bar{u} + u'; \quad v = \bar{v} + v'$$
$$\frac{\partial(\bar{u} + u')}{\partial x} + \frac{\partial(v' + \bar{v})}{\partial y} = 0(*)$$

Tomando a média de (\*) num intervalo de tempo  $\Delta t$

$$\frac{\overline{\partial u}}{\partial x} + \frac{\overline{\partial u'}}{\partial x} + \frac{\overline{\partial v}}{\partial y} + \frac{\overline{\partial v'}}{\partial y} = 0$$

$$\downarrow$$
$$= 0$$

$$\downarrow$$
$$= 0$$

→ Para intervalo suficientemente grande

$$\frac{\partial \bar{U}}{\partial x} + \frac{\partial \bar{V}}{\partial y} = 0$$

Equação idêntica à do regime laminar.

Equação da conservação da quantidade de movimento em X.

$$\rho u \frac{\partial u}{\partial x} + \rho v \frac{\partial u}{\partial y} = -\frac{\partial p}{\partial x} + \mu \frac{\partial^2 u}{\partial y^2}$$

Escrevendo a equação na forma conservativa:

$$\frac{\partial \rho u u}{\partial x} + \frac{\partial \rho u v}{\partial y} = -\frac{\partial p}{\partial x} + \mu \frac{\partial^2 u}{\partial y^2}$$

$$u = \bar{u} + u'; \quad v = \bar{v} + v'; \quad p = \bar{p} + p'$$

$$\begin{aligned} & \frac{\partial \rho(\bar{u} + u')(\bar{u} + u')}{\partial x} + \frac{\partial \rho(\bar{u} + u')(\bar{v} + v')}{\partial y} = \\ & = -\frac{\partial(\bar{p} + p')}{\partial x} + \mu \frac{\partial^2(\bar{u} + u')}{\partial y^2} \end{aligned}$$

$$\begin{aligned} & \frac{\partial \rho \bar{u} + u'}{\partial x} + 2 \frac{\partial \rho \bar{u} + u'}{\partial x} = \frac{\partial \rho u' u'}{\partial x} + \frac{\partial \rho \bar{u} \bar{v}}{\partial y} + \frac{\partial \rho u' \bar{v}}{\partial y} + \\ & + \frac{\partial \rho \bar{u} \bar{v}'}{\partial y} + \frac{\partial \rho u' \bar{v}'}{\partial y} = -\frac{\partial \bar{p}}{\partial x} - \frac{\partial p'}{\partial x} + \mu \left( \frac{\partial^2 \bar{u}}{\partial y^2} + \frac{\partial^2 u'}{\partial y^2} \right) \end{aligned}$$

Tomando a média temporal da equação num intervalo de tempo:

$$\begin{aligned} & \frac{\partial \overline{\overline{\rho u u}}}{\partial x} + 2 \frac{\partial \overline{\overline{\rho u u'}}}{\partial x} + \frac{\partial \overline{\overline{\rho u' u'}}}{\partial x} + \frac{\partial \overline{\overline{\rho u v}}}{\partial y} + \frac{\partial \overline{\overline{\rho u v'}}}{\partial y} + \\ & + \frac{\partial \overline{\overline{\rho u' v'}}}{\partial y} + \frac{\partial \overline{\overline{\rho u v'}}}{\partial y} + \frac{\partial \overline{\overline{\rho u' v'}}}{\partial y} = - \frac{\partial \overline{p}}{\partial x} - \frac{\partial \overline{p'}}{\partial y} + \\ & + \mu \left( \frac{\partial^2 \overline{u}}{\partial y^2} + \frac{\partial^2 \overline{u'}}{\partial y^2} \right) \end{aligned}$$

$$\begin{aligned} & \frac{\partial \overline{\overline{\rho u u}}}{\partial x} + \frac{\partial \overline{\overline{\rho u' u'}}}{\partial x} + \frac{\partial \overline{\overline{\rho u v}}}{\partial y} + \frac{\partial \overline{\overline{\rho u' v'}}}{\partial y} = \\ & = - \frac{\partial \overline{p}}{\partial x} + \mu \frac{\partial^2 \overline{u}}{\partial y^2} \end{aligned}$$



Reescrevendo a equação na forma não-conservativa:

$$\rho \bar{u} \frac{\partial \bar{u}}{\partial x} + \rho \bar{v} \frac{\partial \bar{u}}{\partial y} = -\frac{\partial \bar{P}}{\partial x} + \mu \frac{\partial^2 \bar{u}}{\partial y^2} - \rho \frac{\partial \overline{u'v'}}{\partial y}$$

Regime laminar:

$$\rho u \frac{\partial u}{\partial x} + \rho v \frac{\partial u}{\partial y} = -\frac{\partial p}{\partial x} + \mu \frac{\partial^2 u}{\partial y^2}$$

Escoamento laminar  $\tau_{yx} = -\mu \frac{\partial u}{\partial y}$

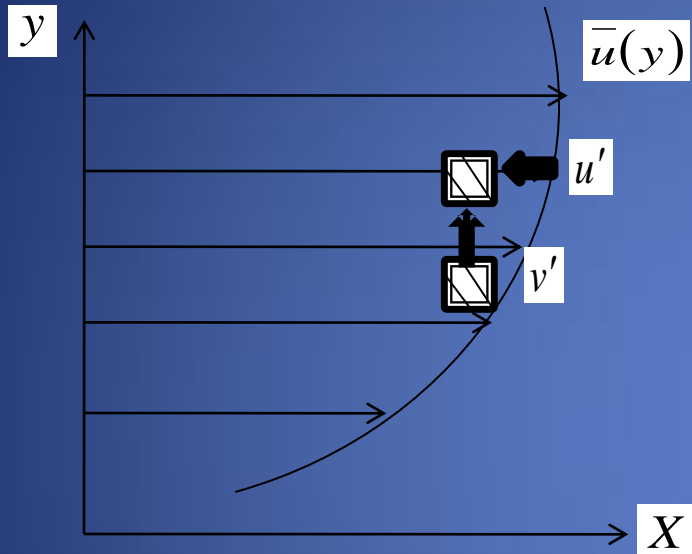
Representa um mecanismo de transporte de Q.M. por difusão molecular.

Escoamento turbulento → transporte por Q.M. por difusão molecular + difusão turbulenta  $(\rho \overline{u'v'})$  devido às flutuações das componentes de velocidade.

$$\tau_{yx}^t = \overline{u'v'} < 0$$

Considere um escoamento onde:

$$\bar{u} = \bar{u}(y), \bar{v} = \bar{w} = 0 \quad \text{e} \quad \frac{\partial \bar{u}}{\partial y} > 0$$



$$v' > 0 \rightarrow U' < 0$$

$$\tau'_{yx} = \rho \overline{u'v'} < 0$$

$$\tau_{yx} = -\underbrace{\mu}_{> 0} \underbrace{\frac{\partial u}{\partial y}}_{> 0} < 0$$

Portanto, se o transporte de Q.M. aumenta (os termos se somam na eq.)

Equação da conservação de energia.

$$\rho C_p \left[ \frac{\partial T}{\partial t} + u \frac{\partial T}{\partial x} + v \frac{\partial T}{\partial y} \right] = \frac{\partial}{\partial y} \left( k \frac{\partial T}{\partial y} \right) + \frac{\partial}{\partial x} \left( k \frac{\partial T}{\partial x} \right)$$

Substituindo:

$$T = \bar{T} + T'$$
$$u = \bar{u} + u'$$
$$v = \bar{v} + v'$$

e tomando-se a média temporal temos:

$$\rho C_p \left[ \frac{\partial \bar{T}}{\partial t} + \bar{u} \frac{\partial \bar{T}}{\partial x} + \bar{v} \frac{\partial \bar{T}}{\partial y} \right] = \frac{\partial}{\partial y} \left( k \frac{\partial \bar{T}}{\partial y} - \rho C_p \overline{v't'} \right) + \frac{\partial}{\partial x} \left( k \frac{\partial \bar{T}}{\partial x} - \rho C_p \overline{u'T'} \right)$$

$$\frac{\partial(-\rho C_p \overline{v'T'})}{\partial y} \quad \text{e} \quad \frac{\partial(-\rho C_p \overline{u'T'})}{\partial x} \quad \text{representam}$$

um mecanismo de transporte de calor por difusão turbulenta.

Pode-se mostrar que o mecanismo de difusão turbulenta promove a transferência de calor.

## Modelo matemático para as tensões de Reynolds

As várias correlações existentes procuram relacionar as tensões turbulentas com gradientes de velocidade média.

### MODELO DE BOUSSINESQ:

$$\tau_{yx}^t = +\rho \overline{u'v'} = -\rho \varepsilon_M \frac{\partial \bar{u}}{\partial y}$$

→ difusividade turbulenta de Q.M.

$\varepsilon_M$  tem as mesmas dimensões de uma viscosidade cinemática ( $\nu$ )

logo  $\rho \varepsilon_M = \mu^t \Rightarrow \tau_{yx}^t = -\mu^t \frac{\partial \bar{u}}{\partial y}$

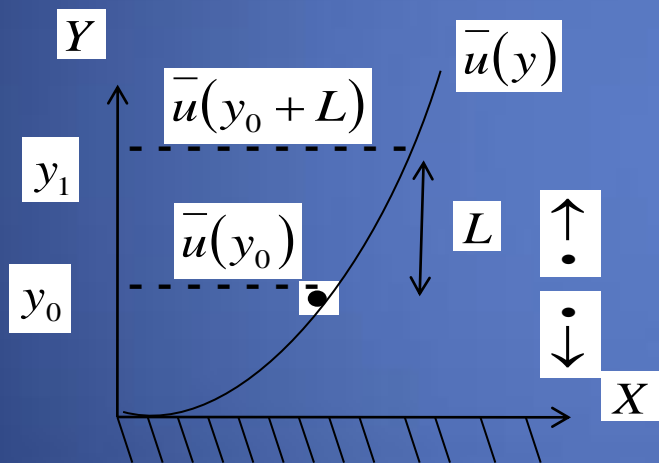
$$\rho \bar{u} \frac{\partial \bar{u}}{\partial y} + \rho \bar{v} \frac{\partial \bar{u}}{\partial y} = -\frac{\partial \bar{p}}{\partial X} + \mu \frac{\partial^2 \bar{u}}{\partial y^2} - \rho \frac{\partial \overline{u'v'}}{\partial y}$$

$$\rho \bar{u} \frac{\partial \bar{u}}{\partial x} + \rho \bar{v} \frac{\partial \bar{u}}{\partial y} = -\frac{\partial \bar{p}}{\partial x} + \mu \frac{\partial^2 \bar{u}}{\partial y^2} + \mu^t \frac{\partial^2 \bar{u}}{\partial y^2}$$

$\varepsilon_M$  depende das condições locais de escoamento do fluido e  $\nu$  é propriedade do fluido .

No modelo de Boussinesq substitui-se uma grandeza desconhecida  $\overline{u'v'}$  por outra também desconhecida mas que se presta melhor para resultados experimentais.

## MODELO DE PRANDTL



Em uma escala macroscópica o escoamento turbulento pode ser idealizado por pequenos “pacotes” de fluido trafegando transversalmente.

Este “pacote” trafega uma distancia “ $L$ ” até perder a sua identidade.

$L$  é a distancia de difusão turbulenta ou “MIXING LENGTH”.

O “pacote” trafegando de  $y_0$  para  $y_1$  mantém as suas características. Portanto a velocidade deste “pacote” na nova lâmina de fluido é menor:

$$\bar{u}(y + L) - \bar{u}(y) = \Delta \bar{u} = L \left( \frac{\partial \bar{u}}{\partial y} \right)_y \quad (\text{por série de Taylor})$$

$L$  é uma distancia na direção transversal percorrida pelo “pacote” de fluido de modo que seja igual a flutuação da velocidade nesta mesma direção na nova lâmina:

$$\Delta \bar{u} = u'_{y+L}$$

$$\bar{u} = L \left( \frac{\partial \bar{u}}{\partial y} \right)_y$$

$v'$  é da mesma ordem de magnitude:

$$v' = L \left( \frac{\partial \bar{u}}{\partial y} \right)_y$$

As tensões de Reynolds são calculados por

$$\tau_{yx}^t = -\rho \overline{u'v'} = -\rho L^2 \frac{\partial \bar{u}}{\partial y} \frac{\partial \bar{u}}{\partial y}$$

Supondo que  $\overline{ab} = c \bar{a} \cdot \bar{b} \Rightarrow$

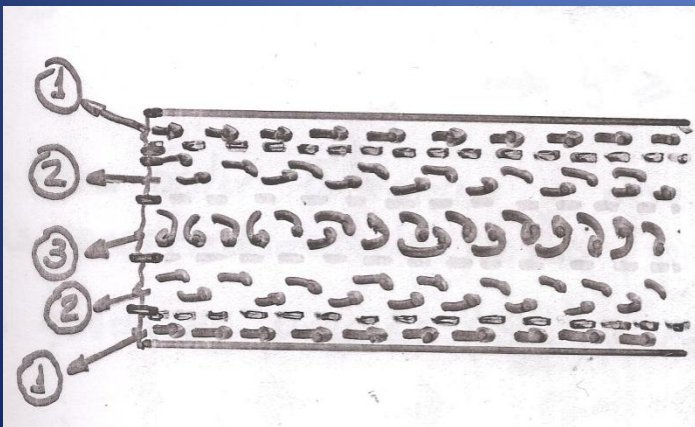
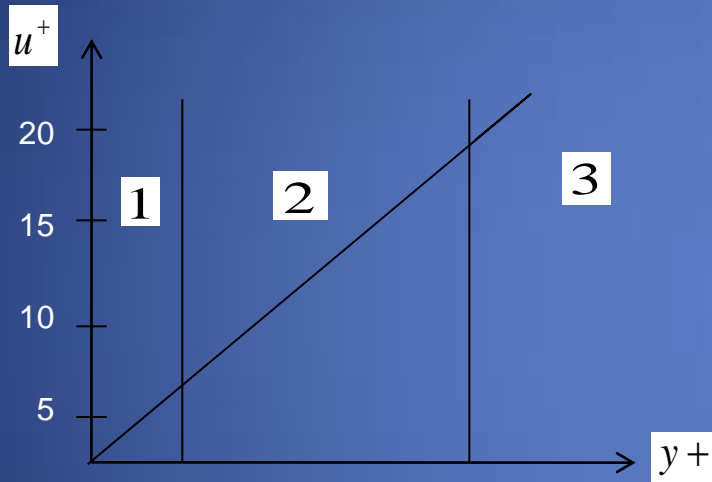
$$\tau_{yx}^t = -L^2 m \frac{\partial \bar{u}}{\partial y} \left| \frac{\partial \bar{u}}{\partial y} \right|$$

$$\tau_{yx}^t = -c \rho L^2 \frac{\partial \bar{u}}{\partial y} \frac{\partial \bar{u}}{\partial y}$$

$$L_M^2$$

## Perfil universal de velocidade

Recentemente tem se tornado freqüente a representação do perfil de velocidade turbulento num gráfico semi-log. Para escoamento isotérmico, plenamente desenvolvido num tubo de seção circular



1 – camada laminar → tensões viscosas predominam

$$\mu \gg \rho \tau_M$$

2 – camada de transição → tensões viscosas e turbulentas são de mesma grandeza.

$$\mu = \rho \tau_M$$

3 – núcleo turbulento →  $\mu \ll \rho \tau_M$

Von Kármán propôs um perfil universal de velocidade usando:

$$\begin{cases} u^+ = \bar{u} \left( \frac{\rho}{\tau_w} \right)^{1/2} \\ y^+ = \frac{y}{\nu} \left( \frac{\tau_w}{\rho} \right)^{1/2} \end{cases}$$

1 – camada laminar →  $u^+ = y^+ \Rightarrow 0 \leq y^+ \leq 5$

2 – camada de transição →  $u^+ = 5.0 \ln(y^+) - 3.05 \Rightarrow 5 \leq y^+ \leq 30$

3 – núcleo turbulento →  $u^+ = 2.5 \ln(y^+) - 5.5 \Rightarrow y^+ \geq 30$



OBSERVE QUE:

$$y^+ = \frac{y}{g} \left( \frac{\tau_w}{\rho} \right)^{1/2} = \text{Re}$$

$$\frac{[\tau]}{[\rho]} = \frac{[F]/[A]}{[\rho]} = \frac{[kgm][m^3]}{[s^2][m^2][kg]} = \frac{[m^2]}{[s^2]} = [V]^2$$

Então: 
$$y^+ = \frac{y}{\nu} \cdot V = \frac{\rho y \nu}{\mu} \text{Re}$$

### Perfil de temperatura em escoamento turbulento – resultado de Reynolds

Considere um escoamento incompressível, estacionário, turbulento e plenamente desenvolvido em um duto de seção circular:

$$\frac{\partial \bar{P}}{\partial X} = \frac{\mu}{\rho} \frac{\partial}{\partial r} \left( r \frac{\partial \bar{V}_x}{\partial x} - \frac{\rho}{r} \frac{\partial}{\partial r} (r \overline{v' r v' r}) \right)$$

$$\rho C_p \bar{V}_x \frac{\partial \bar{T}}{\partial X} = \frac{K}{r} \frac{\partial}{\partial r} \left( r \frac{\partial \bar{T}}{\partial r} \right) - \frac{\rho C_p}{r} \frac{\partial}{\partial r} \left( r \overline{v' r T'} \right)$$

Vamos introduzir o conceito de difusividade turbulenta na equação de Q.M.

$$\overline{Vr'Vx'} = -\tau_M \frac{\partial \overline{V}_x}{\partial y} \left\} \overline{Vr'Vx'} = -\tau_M \frac{\partial \overline{V}_x}{\partial r}\right.$$

Fazendo  $y = r$

Analogicamente pode-se introduzir o conceito de difusividade turbulenta de calor:

$$\begin{aligned}\overline{V'rT'} &= -\xi_H \frac{\partial \overline{T}}{\partial r} \\ \frac{\partial}{\partial r} (\overline{rv'rT'}) &= -\frac{\partial}{\partial r} \left( V \xi_H \frac{\partial \overline{T}}{\partial r} \right) \\ \rho C_p \overline{V}_x \frac{\partial \overline{T}}{\partial X} &= \frac{K}{r} \frac{\partial}{\partial r} \left( r \frac{\partial \overline{T}}{\partial r} \right) + \frac{\rho C_p}{r} \frac{\partial}{\partial r} \left( r \xi_H \frac{\partial \overline{T}}{\partial r} \right)\end{aligned}$$

$$\overline{V}_x \frac{\partial \overline{T}}{\partial X} = \frac{1}{r} \frac{\partial}{\partial r} \left[ r(\alpha + \xi_H) \frac{\partial \overline{T}}{\partial r} \right]$$



$$\alpha = \frac{K}{\rho C_p}$$

Resumindo:

Equações de conservação para o regime turbulento (2D incompressível)

$$\left\{ \begin{array}{l} \frac{\partial \bar{u}}{\partial X} + \frac{\partial \bar{V}}{\partial y} = 0 \\ \rho \bar{u} \frac{\partial \bar{u}}{\partial X} + \rho \bar{V} \frac{\partial \bar{u}}{\partial y} = -\frac{\partial \bar{P}}{\partial X} + \frac{\partial}{\partial y} \left[ \left( \mu \frac{\partial \bar{u}}{\partial y} \right) + \left( \mu_t \frac{\partial \bar{u}}{\partial y} \right) \right] \\ \rho C_p \left( \bar{u} \frac{\partial \bar{T}}{\partial X} + \bar{V} \frac{\partial \bar{T}}{\partial y} \right) = \frac{\partial}{\partial y} \left[ \left( K \frac{\partial \bar{T}}{\partial y} \right) + \left( K_t \frac{\partial \bar{T}}{\partial y} \right) \right] \end{array} \right.$$

$$\mu_{eff} = \mu + \mu_t \Rightarrow \frac{\partial}{\partial y} \left( \mu_{eff} \frac{\partial \bar{u}}{\partial y} \right)$$

$$K_{eff} = K + K_t \Rightarrow \frac{\partial}{\partial y} \left( K_{eff} \frac{\partial \bar{T}}{\partial y} \right)$$

Equação de balanço de energia para regime turbulento.

$$\bar{V}_x \frac{\partial \bar{T}}{\partial X} = \frac{1}{r} \frac{\partial}{\partial r} \left( r(\alpha + \xi_N) \frac{\partial \bar{T}}{\partial r} \right)$$

↓

$$\alpha = k / \rho C_p$$

❖ Resta determinar o valor de  $\xi_N$

Definição do número de Prandtl turbulento

$$\text{Pr}_t = \frac{\xi_N}{\xi_H} \therefore \xi_H \text{Pr}_t = \xi_N$$

Considerando gases ou água e escoamento turbulento plenamente desenv.

Temos:

$$\text{Pr}_t = 1 \rightarrow \xi_H = \xi_N$$

Este resultado é conhecido como ANALOGIA DE REYNOLDS.

Os perfis de velocidade e temperatura são similares.

$$\frac{\partial \bar{T}}{\partial r} = \frac{\partial V_x}{\partial r}$$

$$\frac{\partial}{\partial r} \left( \frac{\bar{T} - T_W}{\bar{T}_f - T_W} \right)_{r=R} = \frac{\partial}{\partial r} \left( \frac{\bar{V}_x}{\bar{V}_t} \right)_{r=R} \quad h = \frac{q_r}{T_W - \bar{T}_f} \Big|_{r=R}$$

$$\left\{ \begin{array}{l} qr = -k_{ef} \frac{\partial T}{\partial r} \\ Pr = \frac{Cp\mu}{K} \end{array} \right. \longrightarrow \left\{ \begin{array}{l} k_{ef} = k + k_t \\ k = \frac{Cp\rho\nu}{Pr} \end{array} \right.$$

$$h = - \left[ \frac{\nu}{Pr} + \frac{\xi_N}{Pr_t} \right] \left( \frac{\rho Cp}{T_W - \bar{T}_f} \right) \left( \frac{\partial \bar{v}}{\partial r} \right)_{r=R}$$

## Fator de atrito

Em inúmeras aplicações deseja-se conhecer a queda de pressão para uma dada vazão.

Para escoamentos turbulentos isto poderia ser respondido usando-se  $\tau_M$  ou  $L$  (comprimento de difusão turbulenta).

Na prática utiliza-se o conceito de “fator de atrito”

$$\frac{\partial}{\partial t}(\rho \bar{u}) + \nabla \cdot (\rho \bar{u} \bar{u}) = -\nabla \bar{P} + \mu \nabla \cdot (\rho \nabla \bar{u}) - \nabla \cdot (\rho \bar{u}' \bar{u}') + \rho g$$

$(\nabla \bar{P})$  Acel. Temp.    $(\nabla \bar{P})$  Acel. Esp.

$$\nabla \bar{P} = -\frac{\partial}{\partial t}(\rho \bar{u}) - \nabla(\rho \bar{u} \bar{u}) + \underbrace{\mu \nabla \cdot (\rho \nabla \bar{u})}_{(\nabla \bar{P}) \text{ atrito}} - \underbrace{\nabla \cdot (\rho \bar{u}' \bar{u}')}_{(\nabla \bar{P}) \text{ gravidade}} + \rho g$$

$(\nabla \bar{P})$  atrito    $(\nabla \bar{P})$  gravidade

$$(\nabla \bar{P})_{total} = (\nabla \bar{P})_{ac.temp} + (\nabla \bar{P})_{ac.esp.} + (\nabla \bar{P})_{atrito} + (\nabla \bar{P})_{grav}$$

Para escoamento unidimensional, plenamente desenvolvido, regime permanente em um duto horizontal:

$$(\nabla P)_{total} \approx (\nabla P)_{atrito}$$

Termo de atrito pode ser medido experimentalmente.



Para o calculo de  $(\nabla P)_{atrito}$  usa-se o conceito de fator de atrito  $(f)$  definido por:

$$(\nabla P)_{atrito} = -f \frac{\rho \bar{V}^2}{2D_h}$$

Onde  $f \dots$  fator de atrito de Moody

Para o regime laminar vimos que:

$$\frac{\partial p}{\partial z} = -\frac{8\mu \bar{V}_z}{R^2} \text{ (exercício anterior)}$$

$$-\frac{8\mu \bar{V}_z}{R^2} = -f \frac{\rho \bar{V}_z^2}{2D_h}$$

$$\frac{8\mu}{R^2} \frac{2D_h}{\rho \bar{V}_z} = f$$

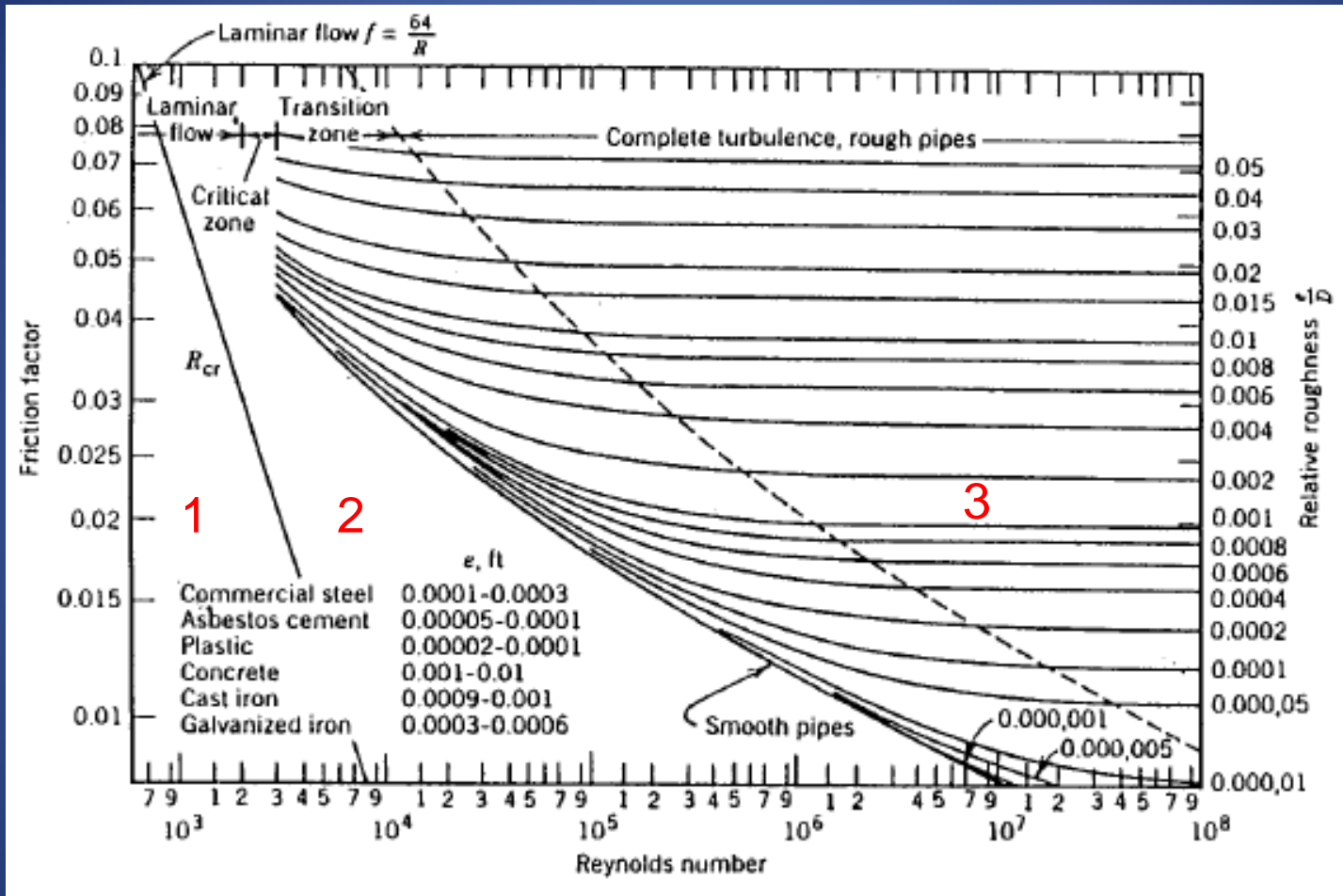


$$f = \frac{64\mu}{\rho \bar{V}_z D_h} \Rightarrow f = \frac{64}{Re}$$

$$\frac{D_h^2}{4}$$

Para Canais não circulares  $D_h = (4 \times \text{área}) / (\text{perímetro molhado})$ .

Uma compilação de várias formulações empíricas para o cálculo de  $(\nabla P)$  atrito resultou no diagrama de Moody.



- 1 – regime laminar
- 2 - zona intermediária ou de transição
- 3 – regime completamente turbulento



O aquecimento do fluido provoca variações no valor de  $f$  Sieder e Tate sugerem:

$$\frac{f}{f_{iso}} = \left( \frac{\mu}{\mu_w} \right)^{0.14}$$

↑ isotérmicos

$\mu_w$  ...viscosidade junto a parede

$\mu$  ...viscosidade média do fluido

O fator de atrito é obtido experimentalmente medindo-se  $(\nabla P)$  atrito e a velocidade média  $u$  (onde  $u$  é a vazão dividida pela área de escoamento):

$$(\nabla P)_{\text{atrito\_medido}} = - \frac{f L \bar{V}_{med}^2}{2 D_h}$$

Formulações empíricas propostas a partir de resultados experimentais:

BLASIUS  $\rightarrow f = 0,316 \text{Re}^{-0.25}$

Lei Geral  $\rightarrow \frac{1}{\sqrt{f}} = 2.0 \log_{10} (\text{Re} \sqrt{f})^{-0.8}$

Equação transcendental deve ser resolvida iterativamente.

A Lei Geral é consistente com o perfil universal de velocidade.

### Coeficiente de transferência de calor em regime turbulento

$$Pr = \frac{C_p \mu}{k}$$

1 – fluidos com alto  $Pr$  (gases, água)

2 – fluidos com baixo  $Pr$  (metais líquidos)

1 – Fluidos com alto  $Pr(Pr \cong 1)$

A maior resistência ao transporte de calor reside na camada laminar.

→ Dittus – Boelter: 
$$Nu = \frac{hD_h}{k} = 0.023 Re^{0.8} Pr^{0.4}$$

→ Seider – Tate: 
$$Nu = \frac{hD_h}{k} = 0.023 Re^{0.8} Pr^{0.4} \left( \frac{\mu_\infty}{\mu_w} \right)^{0.14}$$

Para casos de grande queda de temperatura na camada laminar.

## 2 – Para fluidos com baixo $Pr$ ( $Pr \ll 1$ )

A resistência ao transporte de calor estende-se até o núcleo turbulento.

$$Pe = Re \cdot Pr = \frac{\rho V D}{\mu} \cdot \frac{C_p \mu}{k} = \frac{\rho V C_p D}{k}$$

$$Nu = C_3 + C_4 Pe^n$$

Onde  $n = 0,8$

Tubos com fluxo de calor constante na parede:

$$C_3 = 7 \quad ; \quad C_4 = 0,025 \quad \longrightarrow \quad Nu = 7 + 0,025 Pe^{0,8}$$

Tubos com temperatura constante na parede:

$$C_3 = 5 \quad ; \quad C_4 = 0,025 \quad \longrightarrow \quad Nu = 5 + 0,025 Pe^{0,8}$$

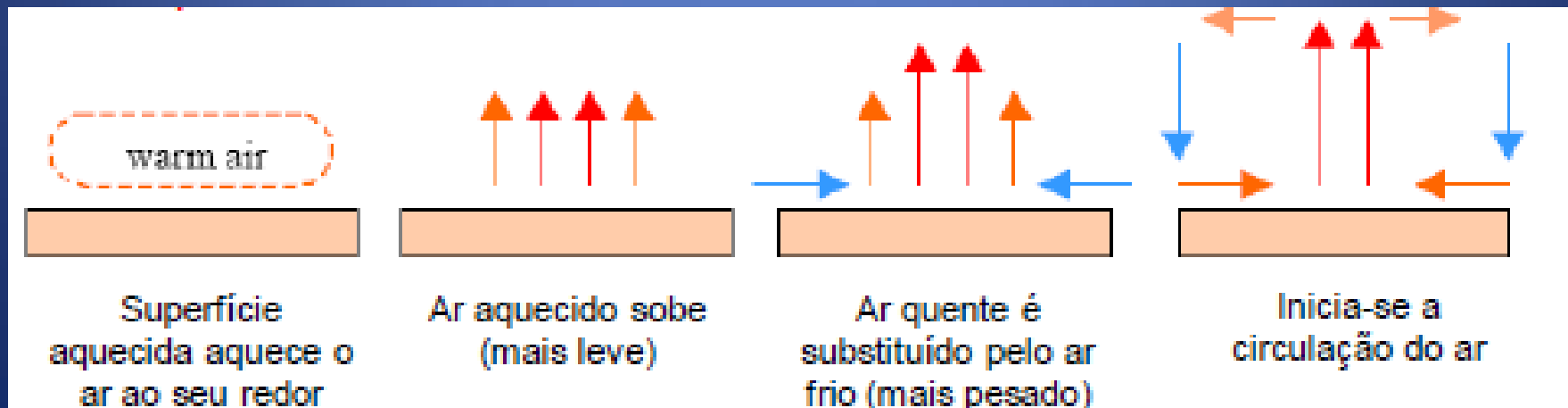
## Transferência de Calor por Convecção Natural

O movimento do fluido é ocasionado pela presença combinada de um gradiente de densidade do fluido e uma força de corpo que é proporcional à densidade.

Força de corpo: normalmente é uma força gravitacional.

Gradiente de densidade: ocorre em função de um gradiente de temperatura. O efeito líquido é o aparecimento da força de empuxo.

Exemplo:

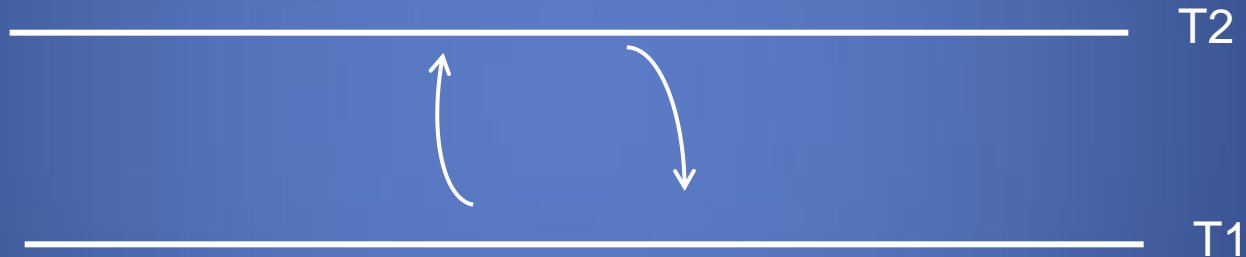


# Transferência de Calor por Convecção Natural

A presença de um gradiente de densidade em um campo gravitacional não garante a existência de correntes de convecção.

Ex.: Fluido confinado entre placas extensas:

Situação 1:  $T_1 > T_2$  Circulação do fluido instável, T.C. por convecção



Situação 2:  $T_2 > T_1$  Estagnação do fluido, T. C. por condução



## Transferência de Calor por Convecção Natural

Importância desse tipo de escoamento: em diversos sistemas onde ocorre a transferência de calor, a convecção natural oferece maior resistência à transferência de calor, desempenhando um importante papel no desempenho final do sistema.

### Exemplos:

- Dissipadores de calor por convecção natural (componentes eletrônicos);
- Condensadores que operam com convecção natural;
- Sistemas de refrigeração de reatores nucleares (nova geração).

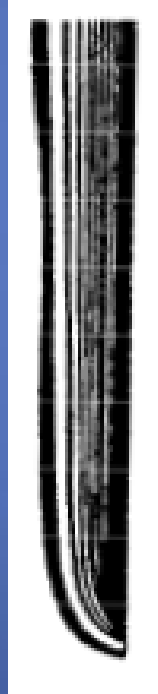
# Transferência de Calor por Convecção Natural

Escoamento laminar ou turbulento?

## Escoamento laminar

Escoamento laminar é ordenado e segue uma teoria conhecida, sendo previsível.

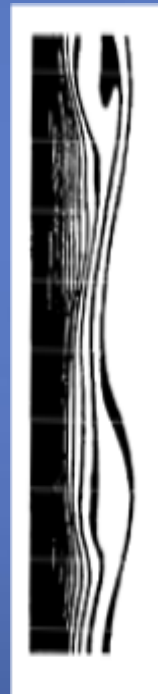
Resultados precisos podem ser obtidos numericamente.



## Escoamento turbulento

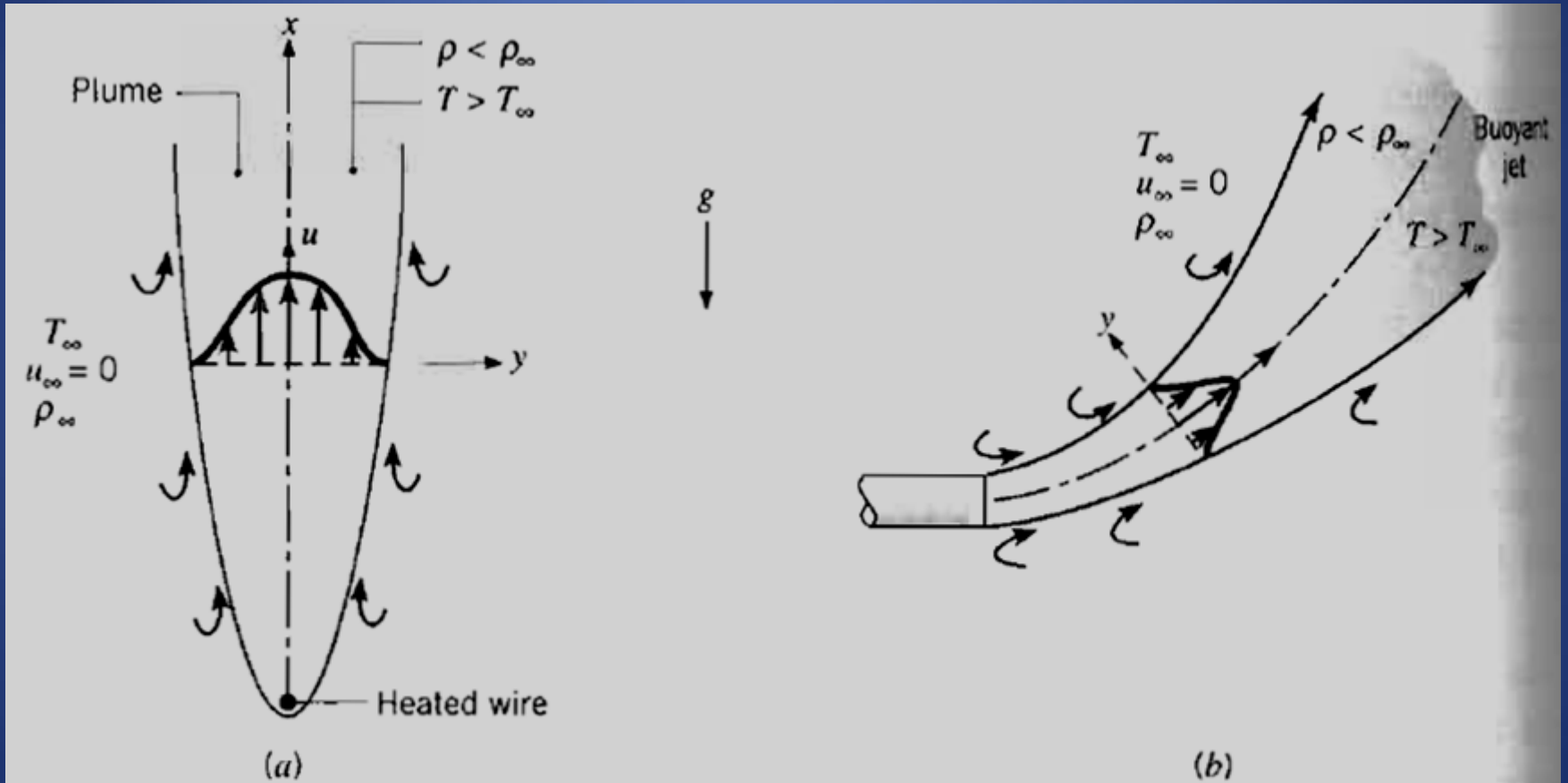
Escoamento turbulento é caótico e não segue uma teoria conhecida, sendo imprevisível.

Resultados mais precisos podem ser obtidos aplicando-se os efeitos da turbulência no atrito e na transferência de calor.



# Transferência de Calor por Convecção Natural

## Considerações Físicas



Escoamento de camada-limite natural:

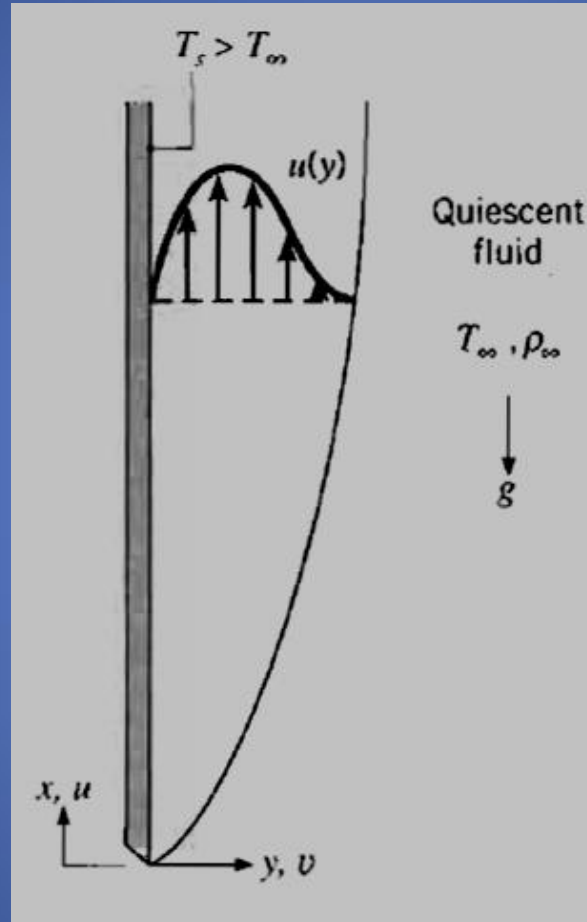
(a) Formação de pluma acima de um fio aquecido

(b) Jato livre associado a uma descarga aquecida



# Transferência de Calor por Convecção Natural

## Considerações Físicas



Desenvolvimento de uma camada-limite sobre uma placa vertical aquecida imersa em um fluido extenso, quiescente.

# Transferência de Calor por Convecção Natural

Equações da Convecção Natural (Placa Plana Vertical Aquecida)

$$u \frac{\partial u}{\partial x} + v \frac{\partial u}{\partial y} = -\frac{1}{\rho} \frac{dp_{\infty}}{dx} - g + \nu \frac{\partial^2 u}{\partial y^2}$$

$$\frac{dp_{\infty}}{dx} = \rho_{\infty} g$$

$$u \frac{\partial u}{\partial x} + v \frac{\partial u}{\partial y} = g \left( \frac{\Delta \rho}{\rho} \right) + \nu \frac{\partial^2 u}{\partial y^2}$$

onde

$$\Delta \rho = \rho_{\infty} - \rho$$

# Transferência de Calor por Convecção Natural

## Equações da Convecção Natural

Considerando a variação da massa específica apenas devido a variação da temperatura, pode-se fazer uso do “Coeficiente de expansão volumétrica térmica “ $\beta$ ”, dado por:

$$\beta = -\frac{1}{\rho} \left( \frac{\partial \rho}{\partial T} \right)_p$$

$$\beta \approx -\frac{1}{\rho} \frac{\Delta \rho}{\Delta T} = -\frac{1}{\rho} \frac{\rho_\infty - \rho}{T_\infty - T}$$

$$(\rho_\infty - \rho) \approx \rho \beta (T - T_\infty)$$

$$u \frac{\partial u}{\partial x} + v \frac{\partial u}{\partial y} = g \beta (T - T_\infty) + \nu \frac{\partial^2 u}{\partial y^2}$$

# Transferência de Calor por Convecção Natural

Leis Básicas de Conservação para Convecção Natural:

$$\frac{\partial u}{\partial x} + \frac{\partial u}{\partial y} = 0$$

Eq. Conservação Massa

$$u \frac{\partial u}{\partial x} + v \frac{\partial u}{\partial y} = g\beta(T - T_{\infty}) + \nu \frac{\partial^2 u}{\partial y^2}$$

Eq. Conservação Quantidade de Movimento

$$u \frac{\partial T}{\partial x} + v \frac{\partial T}{\partial y} = \alpha \frac{\partial^2 T}{\partial y^2}$$

Eq. Conservação Energia

# Transferência de Calor por Convecção Natural

Equações da Convecção Natural (Caso de fluido compressível)

Para um gás ideal,  $\beta$  pode ser determinado da seguinte forma:

$$\rho = \frac{p}{RT}$$

$$\beta = -\frac{1}{\rho} \left( \frac{\partial \rho}{\partial T} \right)_p = \frac{1}{\rho} \frac{p}{RT} = \frac{1}{T}$$

# Transferência de Calor por Convecção Natural

## Análise de Similaridade:

Para analisar os parâmetros adimensionais que governam o escoamento e a transferência de calor na convecção natural, será feita a adimensionalização das equações.

$$x^* \equiv \frac{x}{L}; \quad y^* \equiv \frac{y}{L}$$

$$u^* \equiv \frac{u}{u_0}; \quad v^* \equiv \frac{v}{u_0}; \quad T^* \equiv \frac{T - T_\infty}{T_s - T_\infty}$$

$$u^* \frac{\partial u^*}{\partial x^*} + v^* \frac{\partial u^*}{\partial y^*} = \frac{g\beta(T_s - T_\infty)L}{u_0^2} + \frac{1}{\text{Re}_L} \frac{\partial^2 u^*}{\partial y^{*2}}$$

$$u^* \frac{\partial T^*}{\partial x^*} + v^* \frac{\partial T^*}{\partial y^*} = \frac{1}{\text{Re}_L \text{Pr}} \frac{\partial^2 T^*}{\partial y^{*2}}$$

# Transferência de Calor por Convecção Natural

## Análise de Similaridade

Seja considerada a equação (\*), abaixo:

$$u^* \frac{\partial u^*}{\partial x^*} + \nu^* \frac{\partial u^*}{\partial y^*} = \frac{g\beta(T_s - T_\infty)L}{u_0^2} + \frac{1}{\text{Re}_L} \frac{\partial^2 u^*}{\partial y^{*2}} \quad (*)$$

Escolhendo  $u_0^2 = g\beta(T - T_\infty)L$

Temos que:  $\text{Re}_L = \left[ \frac{g\beta(T - T_\infty)L^3}{\nu^2} \right]^{1/2}$

Assim, é possível definir-se o Número de Grashof ( $Gr_L$ ) como:

$$Gr_L = \frac{g\beta(T - T_\infty)L^3}{\nu^2}; \Rightarrow \text{Re}_L = (Gr_L)^{1/2}$$

$Gr_L$  – Razão entre a força de empuxo e as forças viscosas

# Transferência de Calor por Convecção Natural

## Análise de Similaridade

Quando efeitos da convecção forçada e da convecção natural são comparáveis, tem-se que:

-  $u_o$  é escolhido como sendo igual a  $u_\infty$

- A equação (\*) torna-se:

$$u^* \frac{\partial u^*}{\partial x^*} + v^* \frac{\partial u^*}{\partial y^*} = \frac{Gr_L}{Re_L^2} T^* + \frac{1}{Re_L} \frac{\partial^2 u^*}{\partial y^{*2}}$$

- Assim,

$$Nu_L = f(Re_L, Gr_L, Pr)$$



# Transferência de Calor por Convecção Natural

## Análise de Similaridade

Em resumo:

- Para  $\frac{Gr_L}{Re_L^2} \cong 1$  tem-se  $Nu_L = f(Re_L, Gr_L, Pr)$

- Para  $\frac{Gr_L}{Re_L^2} \ll 1$  tem-se  $Nu_L = f(Re_L, Pr)$

- Para  $\frac{Gr_L}{Re_L^2} \gg 1$  tem-se  $Nu_L = f(Gr_L, Pr)$

# Transferência de Calor por Convecção Natural

Convecção Natural Laminar sobre uma Superfície Vertical:

$$\frac{\partial u}{\partial x} + \frac{\partial v}{\partial y} = 0$$

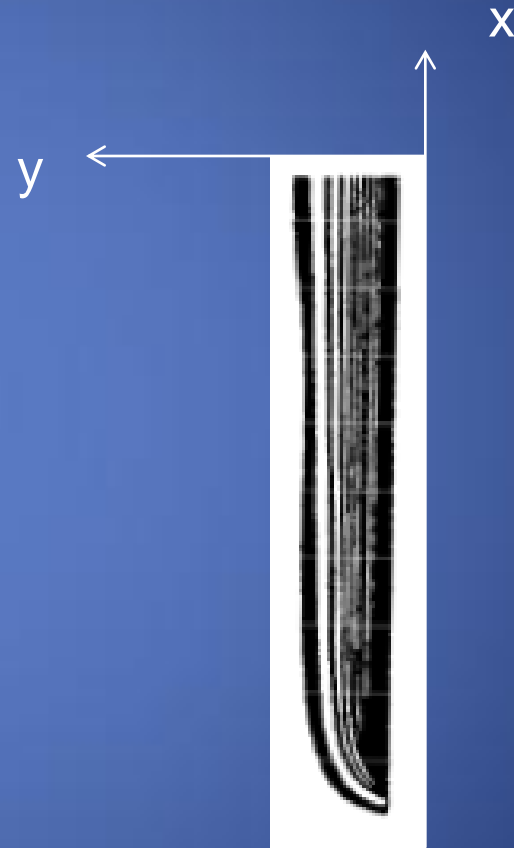
$$u \frac{\partial u}{\partial x} + v \frac{\partial u}{\partial y} = g\beta(T - T_\infty) + \nu \frac{\partial^2 u}{\partial y^2}$$

$$u \frac{\partial T}{\partial x} + v \frac{\partial T}{\partial y} = \alpha \frac{\partial^2 T}{\partial y^2}$$

Condições de contorno:

$$y = 0; \quad u = v = 0; \quad T = T_s$$

$$y \rightarrow \infty; \quad u \rightarrow 0; \quad T \rightarrow T_\infty$$



## Transferência de Calor por Convecção Natural

Convecção Natural Laminar sobre uma Superfície Vertical:

É possível definir um outro número adimensional (Rayleigh,  $Ra$ ) como sendo:

$$Ra = Gr \times Pr$$

Assim, podemos definir o coeficiente de transferência de calor por convecção natural dado por:

$$Nu = \frac{hL}{k} = C Ra^n$$

Sendo que  $C$  e  $n$  dependem do tipo de escoamento, laminar ou turbulento.

# Transferência de Calor por Convecção Natural

Convecção Natural Laminar sobre uma Superfície Vertical:

Resolvendo o coeficiente de transferência de calor:

$$Nu = \frac{hL}{k} = C Ra^n \Rightarrow h = \frac{k}{L} C Ra^n$$

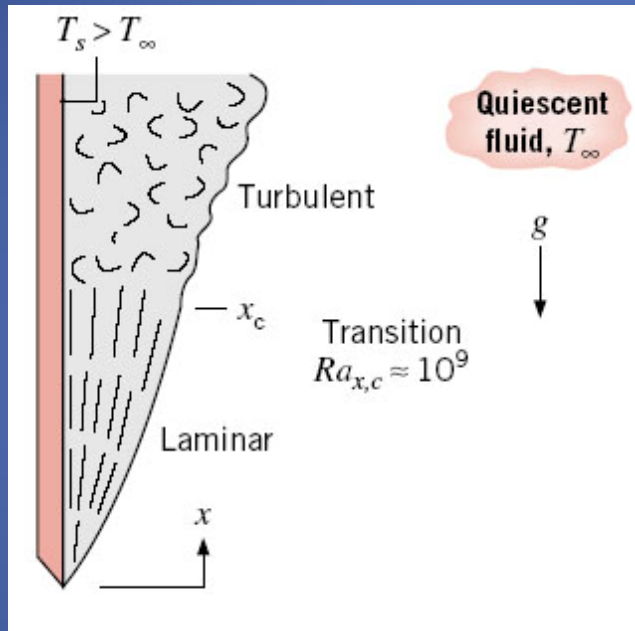
Para as placas planas verticais aquecidas com escoamento laminar, tem-se:

$$Nu = 0,59 Ra^{\frac{1}{4}}$$

Sendo  $10^4 < Ra < 10^9$

# Transferência de Calor por Convecção Natural

## Os Efeitos da Turbulência



A ocorrência da transição é relacionada ao Número de Rayleigh ( $Ra_{xc}$ ).

Para placas planas verticais a transição ocorre em:

$$Ra_{xc} = Gr_{xc} Pr = \frac{g\beta(T - T_\infty)x^3}{\nu\alpha} \approx 10^9$$

# Transferência de Calor por Convecção Natural

## Correlações Empíricas: Convecção Natural em escoamentos Externos

$$\overline{Nu}_L = \frac{\overline{h}L}{k} = C Ra_L^n$$

$$Ra = Gr Pr = \frac{g\beta(T - T_\infty)L^3}{\nu\alpha}$$

Escoamento Laminar:  $(10^4 \leq Ra_L \leq 10^9)$ ;  $C = 0,59$ ;  $n = 1/4$

Escoamento Turbulento:  $(10^9 \leq Ra_L \leq 10^{13})$ ;  $C = 0,10$ ;  $n = 1/3$

e

$$T_f = \frac{1}{2}(T_s + T_\infty)$$

# Transferência de Calor por Convecção Natural

## Cilindro Vertical

Correlação para todo o intervalo de  $Ra_L$

$$\bar{Nu}_L = \left\{ 0.825 + \frac{0.387 Ra_L^{1/6}}{\left[ 1 + \left( \frac{0.492}{Pr} \right)^{9/16} \right]^{8/27}} \right\}^2$$

Uma precisão ligeiramente superior para escoamento laminar pode ser obtida por:

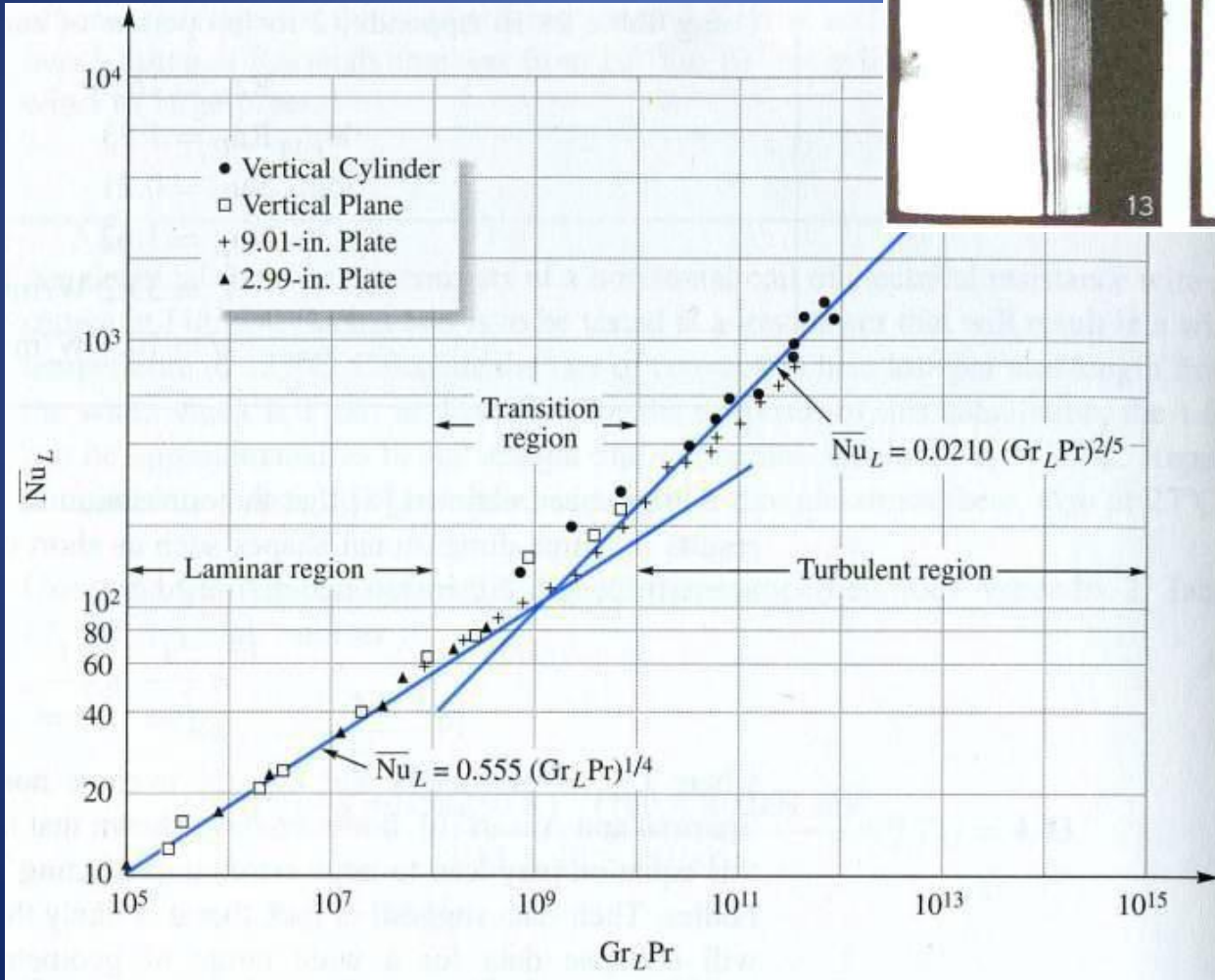
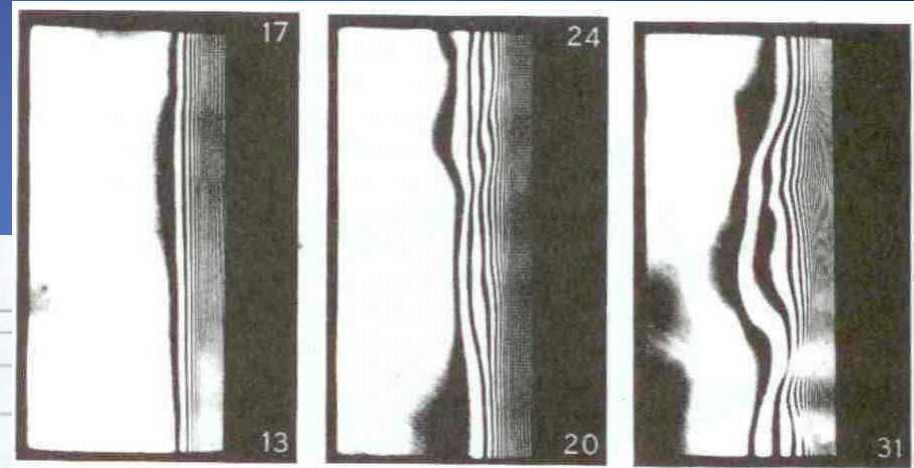
$$\bar{Nu}_L = 0.68 + \frac{0.670 Ra_L^{1/4}}{\left[ 1 + \left( \frac{0.492}{Pr} \right)^{9/16} \right]^{4/9}}; \quad Ra_L \leq 10^9$$

Estes resultados são válidos para cilindros verticais com altura  $L$  desde que  $\delta$  seja muito menor que  $D$ , ou seja, quando:

$$\frac{D}{L} \geq \frac{35}{Gr^{1/4}}$$

# Transferência de Calor por Convecção Natural

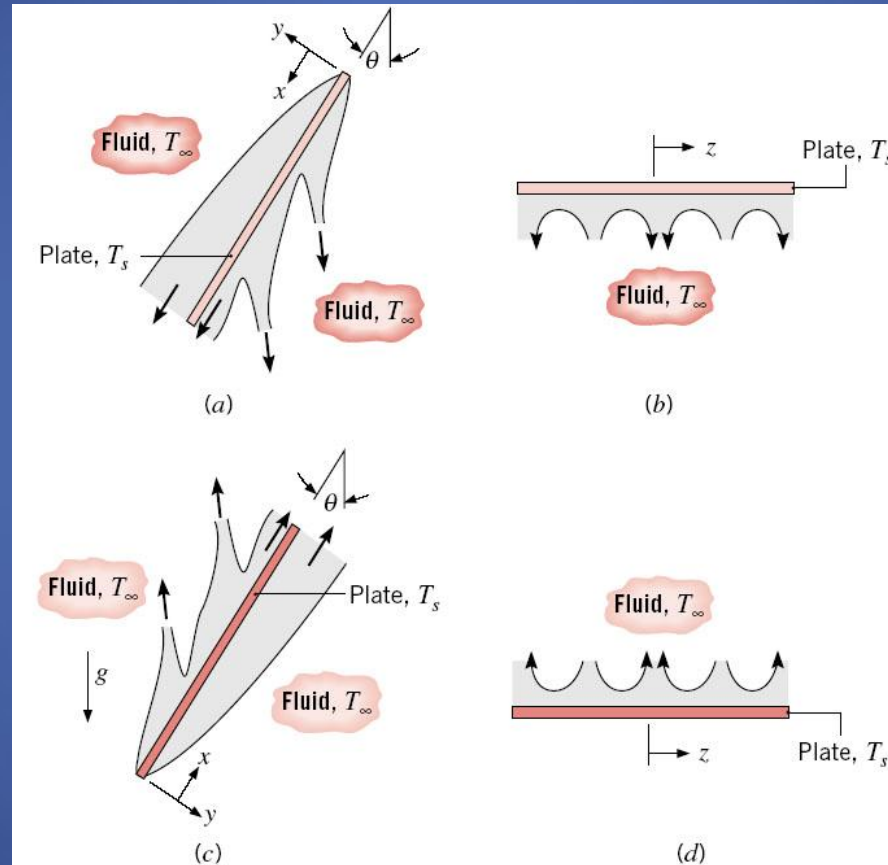
## Placas e Cilindros Verticais





# Transferência de Calor por Convecção Natural

## Placas Inclinadas e Horizontais



**FIGURE 9.6** Buoyancy-driven flows on an inclined plate: (a) side view of flows at top and bottom surfaces of a cold plate ( $T_s < T_\infty$ ), (b) end view of flow at bottom surface of cold plate, (c) side view of flows at top and bottom surfaces of a hot plate ( $T_s > T_\infty$ ), and (d) end view of flow at top surface of hot plate.

# Transferência de Calor por Convecção Natural

## Placas Inclinadas

Superfície Inferior de uma Placa Aquecida ou  
Superfície Superior de uma Placa Resfriada

$$\bar{Nu}_L = \left\{ 0.825 + \frac{0.387 Ra_L^{1/6}}{\left[ 1 + \left( \frac{0.492}{Pr} \right)^{9/16} \right]^{8/27}} \right\}^2$$

$$\bar{Nu}_L = 0.68 + \frac{0.670 Ra_L^{1/4}}{\left[ 1 + \left( \frac{0.492}{Pr} \right)^{9/16} \right]^{4/9}}; \quad Ra_L \leq 10^9$$

No cálculo de  $Ra$ , onde aparece,  $g$ , deve ser substituído por  $(g \cdot \cos \theta)$   
Válidas para  $0 \leq \theta \leq 60^\circ$

Obs.: Para superfície superior de placa aquecida ou  
superfície inferior de placa resfriada não são feitas recomendações.

# Transferência de Calor por Convecção Natural

## Placas Horizontais

Superfície Superior de uma Placa Aquecida ou  
Superfície Inferior de uma Placa Resfriada

$$\bar{Nu}_L = 0.54Ra_L^{1/4} ; \quad (10^4 \leq Ra_L \leq 10^7)$$

$$\bar{Nu}_L = 0.15Ra_L^{1/3} ; \quad (10^7 \leq Ra_L \leq 10^{11})$$

Superfície Inferior de uma Placa Aquecida ou  
Superfície Superior de uma Placa Resfriada

$$\bar{Nu}_L = 0.27Ra_L^{1/4} ; \quad (10^5 \leq Ra_L \leq 10^{10})$$

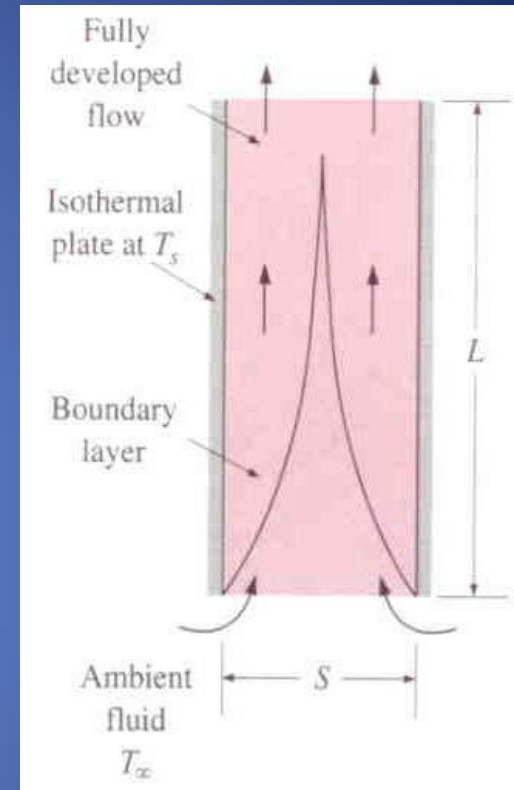
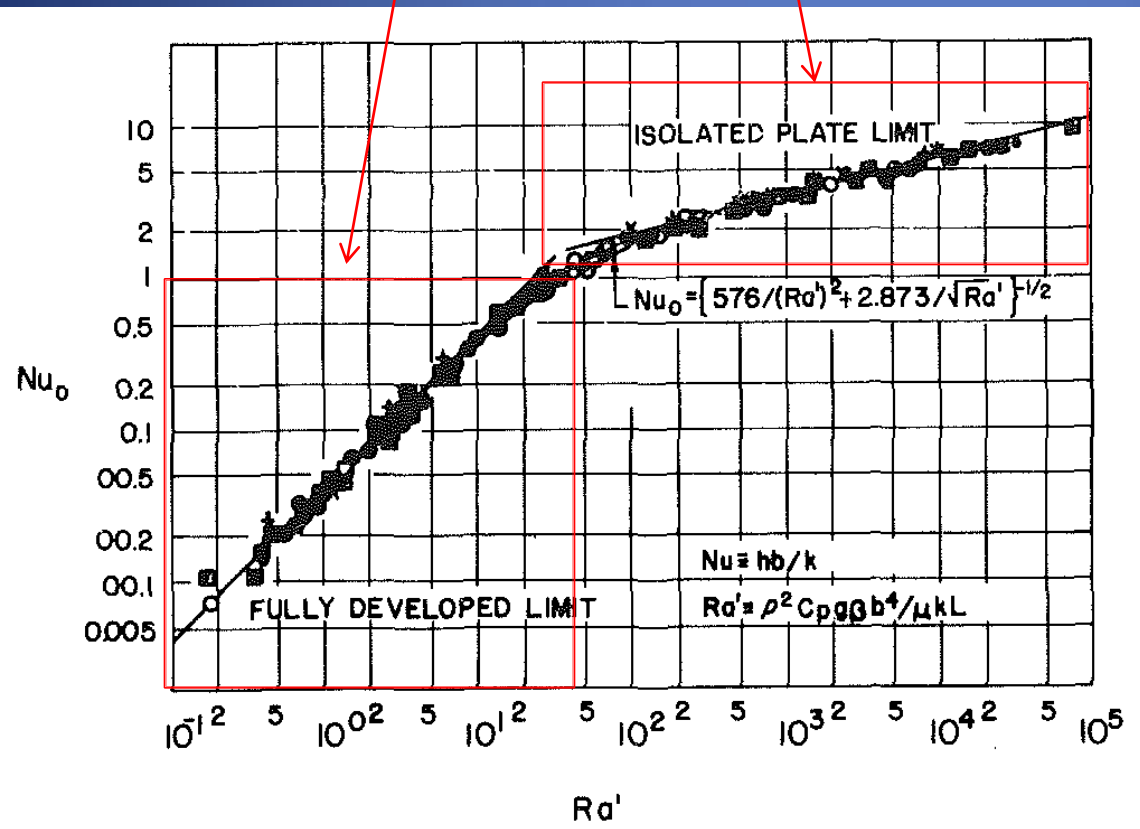
Onde o comprimento característico é definido como:

$$L \equiv \frac{A_s}{P}$$

# Transferência de Calor por Convecção Natural

## Placas Verticais Paralelas:

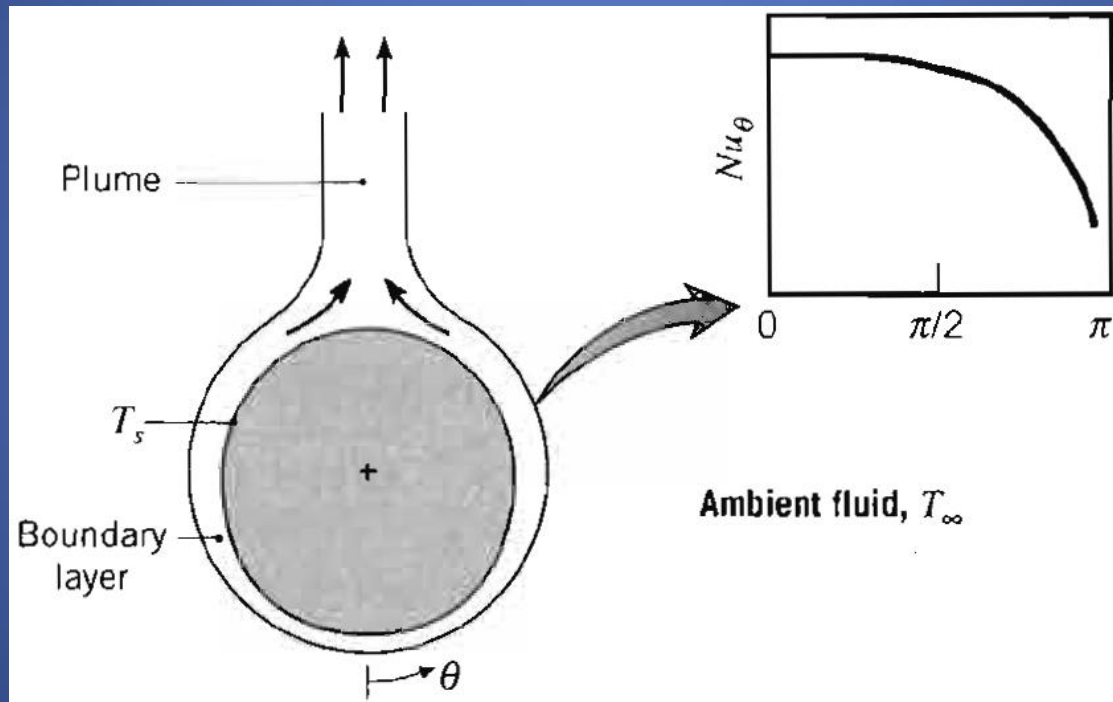
$$\bar{Nu}_L = \left[ \frac{C_1}{(Ra_L A_s / L)^2} + \frac{C_2}{\sqrt{Ra_L A_s / L}} \right]^{-1/2}$$



Ref.: Rohsenow & Bar-Cohen (1984), Thermally optimum spacing of vertical, natural convection cooled, parallel plates, ASME J. Heat Transfer, Vol. 106, pp. 116-123.

# Transferência de Calor por Convecção Natural

## O Cilindro Horizontal Longo



# Transferência de Calor por Convecção Natural

## O Cilindro Horizontal Longo

Correlação proposta por Morgan

$$\overline{Nu}_L = \frac{\overline{h}L}{k} = C Ra_L^n$$

$Ra_D$	$C$	$n$
$10^{-10} - 10^{-2}$	0.675	0.058
$10^{-2} - 10^2$	1.02	0.148
$10^2 - 10^4$	0.850	0.188
$10^4 - 10^7$	0.480	0.250
$10^7 - 10^{12}$	0.125	0.333

Onde  $Ra_D$  e  $\overline{Nu}_D$  são baseados no diâmetro do cilindro

# Transferência de Calor por Convecção Natural

## O Cilindro Horizontal Longo

Correlação proposta por Churchill e Chu

$$\bar{Nu}_L = \left\{ 0.6 + \frac{0.387 Ra_L^{1/6}}{\left[ 1 + \left( \frac{0.559}{Pr} \right)^{9/16} \right]^{8/27}} \right\}^2 ; \quad Ra_L \leq 10^{12}$$

# Transferência de Calor por Convecção Natural

## Esferas

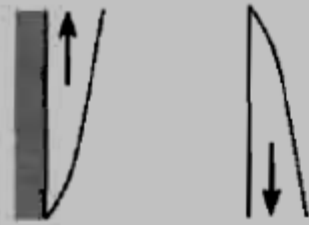
Correlação proposta por Churchill

$$\bar{Nu}_L = 2 + \frac{0.589 Ra_L^{1/4}}{\left[ 1 + \left( \frac{0.469}{Pr} \right)^{9/16} \right]^{4/9}}; \quad Ra_L \leq 10^{11}; \quad Pr \geq 0.7$$

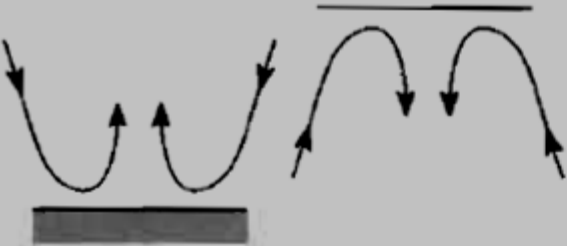
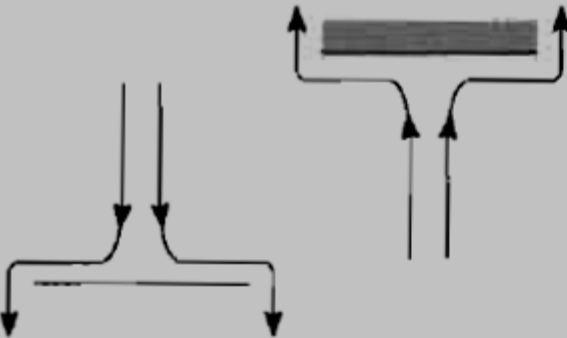


# Transferência de Calor por Convecção Natural



Geometry	Recommended Correlation	Restrictions
1. Vertical plates <sup>a</sup>	$\overline{Nu}_L = \left\{ 0.825 + \frac{0.387Ra_L^{1/6}}{[1 + (0.492/Pr)^{9/16}]^{8/27}} \right\}^2$	None
2. Inclined plates Cold surface up or hot surface down	$\overline{Nu}_L = \left\{ 0.825 + \frac{0.387Ra_L^{1/6}}{[1 + (0.492/Pr)^{9/16}]^{8/27}} \right\}^2$ <p style="text-align: center;"><math>g \rightarrow g \cos \theta</math></p>	$0 \leq \theta \leq 60^\circ$



# Transferência de Calor por Convecção Natural

Geometry	Recommended Correlation	Restrictions
3. Horizontal plates		
	$\overline{Nu}_L = 0.54Ra_L^{1/4}$ $\overline{Nu}_L = 0.15Ra_L^{1/3}$	$10^4 \leq Ra_L \leq 10^7$ $10^7 \leq Ra_L \leq 10^{11}$
(b) Cold surface up or hot surface down		
	$\overline{Nu}_L = 0.27Ra_L^{1/4}$	$10^5 \leq Ra_L \leq 10^{10}$

# Transferência de Calor por Convecção Natural

Geometry	Recommended Correlation	Restrictions	
4. Horizontal cylinder		$\overline{Nu}_D = \left\{ 0.60 + \frac{0.387 Ra_D^{1/6}}{[1 + (0.559/Pr)^{9/16}]^{8/27}} \right\}^2$	$Ra_D \leq 10^{12}$
5. Sphere		$\overline{Nu}_D = 2 + \frac{0.589 Ra_D^{1/4}}{[1 + (0.469/Pr)^{9/16}]^{4/9}}$	$Ra_D \leq 10^{11}$ $Pr \geq 0.7$

<sup>a</sup> The correlation may be applied to a vertical cylinder if  $(D/L) \geq (35/Gr_L^{1/4})$ .